

საქართველოს ტექნიკური უნივერსიტეტი

ე. მოისწრაფიშვილი, ნ. რურუა, მ. მოისწრაფიშვილი

მეთოდური მითითებები
საქურსო სამუშაოსათვის საგანში
“რკინიგზის ლიანდაგი”

ლიანდაგის ზედა ნაშენის გაანგარიშებები



რეგისტრირებულია სტუ-ს
სარედაქციო საგამომცემლო
საბჭოს მიერ

თბილისი

2009

უაკ. 625.1

მეთოდურ მითითებებში განხილულია რკინიგზის ლიანდაგის სიმტკიცე და მდგრადობაზე გაანგარიშების პრქტიკული მეთოდები, ლიანდაგის ზედა ნაშენის ელგმნტების შერჩევის პრინციპები და მათში დასაშვები ძალების განსაზღვრა.

მეთოდური მითითებები მოიცავს ლიანდაგის ზედა ნაშენის ელგმნტების სიმტკიცისა და საერთოდ ლიანდაგის კონსტრუქციის ხანგამძლეობისა და სამძელობის გაანგარიშებებს მათგანატიკური სტატისტიკის, ალბათობის თეორიის და უმაღლესი მექანიკის გამოყენებით. მოტანილია მეთოდური, საცნობარო და ნორმატიულ-ტექნიკური მასალები. მეთოდური მითითებები შედგნილია მოქმედი სტანდარტების დაცვით, კურიკულუმებისა და სილაბუსების შესაბამისად.

მეთოდური მითითებები განკუთვნილია სატრანსპორტო სპეციალობის ბაკალავრების, მაგისტრანტების და დოქტორანტებისათვის. იგი დიდ დახმარებას გაუწევს აგრეთვე რკინიგზის ლიანდაგის ექსპლუატაციის მუშაკებს და რკინიგზის ინჟინერ-დამპროექტებლებს.

რეცენზენტი: ტექნიკის მეცნიერებათა კანდიდატი,
ასოცირებული პროფესორი

გ.კვანტალიანი

© საგამომცემლო სახლი „ტექნიკური უნივერსიტეტი“, 2009

ISBN 978-9941-14-101-0

შესაგალი

რკინიგზის ლიანდაგის კონსტრუქციისადმი წაყენებულ მოთხოვნებს საფუძვლად უდევს მისი სიმტკიცისა და მდგრადობის უზრუნველყოფა, ოპტიმალური ეკონომიკური მოთხოვნების დაკმაყოფილების პირობებში.

ასეთი მოთხოვნები ჩვეულებრივია საინჟინრო ნაგებობებისა და მოწყობილობების დაგეგმარებისას, მაგრამ ლიანდაგის ზედა ნაშენის კონსტრუქციის ახასიათებს ისეთი თავისებურება, რომელიც საგრძნობლად განასხვავებს მას ჩვეულებრივი საინჟინრო ნაგებობებისაგან. ეს თავისებურება იმაში მდგომარეობს, რომ ლიანდაგის ზედა ნაშენის კონსტრუქციის მირითადი მზიდი ელემენტები, როგორც წესი, მუშაობენ ნარჩენი დეფორმაციების დაშევებით.

მაგალითისათვის, რელსი ლიანდაგის კონსტრუქციის ერთ-ერთი მთავარი ელემენტი, ამავე დროს იგი წარმოადგენს ისეთ ნაწილს, რომელიც ცვლება მასზე უშუალოდ მცორავ მოძრავი შემადგენლობის თველებისაგან. რელსის თავის ლითონში (მის კრისტალურ გისოსში) მოძრაობის შედეგად გროვდება დაღლილობითი ხასიათის დეფორმაციები.

ბალასტის შრე შპალის ქვეშ, ლიანდაგზე მოქმედი დატვირთვების ქვეშ მუშაობს გაცილებით მაღალ ძაბვებზე, ვიღრე ეს ჩვეულებრივ დაიშვება მუდმივი ნაგებობებისათვის საუკეთესო გრუნტების შემთხვევაშიც კი, მით უმტეს ზედაპირიდან 0,15 მეტრის სიღრმეზე გაყინვად ზონაში და ისეთი ვიწრო საძირკავლის ქვეშ, როგორიც შპალია. თვით შპალებშიც, ქვესაღების ქვეშ, ნარჩენი დეფორმაციები წარმოაშობა. ლიანდაგის კონსტრუქციის მუშაობის მთელ პერიოდში, რელსებისა და შპალებისაგან შემდგარ გისოსებში გროვდება ნარჩენი გადაწევები, როგორც ბალასტის მიმართ, ისე საერთოდ გეგმაში.

ეს პირობები ძლიერ ართულებს ლიანდაგის ზედა ნაშენის ოპტიმალური კონსტრუქციის შერჩევას და გაანგარიშებას რკინიგზის აღებული უბნის ექსპლუატაციური პირობების მოთხოვნების შესაბამისად.

შედარებისათვის შეგვიძლია აღვნიშნოთ, რომ მაგალითად, რკინიგზის ხიდის დაპროექტებისათვის საკმარისია განისაზღვროს დერძზე მოსული დატვირთვები, მოძრაობის სიჩქარეები და ძალთა მოდების სქემა; ლიანდაგის ზედა ნაშენის დაპროექტების დროს აუცილებლია დამატებით განისაზღვროს ტვირთდაბატულობა. ამასთანავე ტვირთდაბატულობის გავლენა მით უფრო გადამწყვეტია, რაც მეტია მისი მოცულობა.

ტვირთდაძაბულობა განსაზღვრავს ნარჩენი დეფორმაციების დაგროვების ინტენსივობას ლიანდაგის ელემენტებში და, მაშასადამე ლიანდაგის მოვლა-შენახვის და შეკეთების სამუშაოთა მოცულობას, აგრეთვე ამ შეკეთებათა სისშირესაც.

ტვირთდაძაბულობა წარმოადგენს ძირითად ფაქტორს, აგრეთვე ლიანდაგის ზედა ნაშენის ტიპზეაციის დადგენის დროსაც.

უნდა აღინიშნოს, რომ ლიანდაგის სიმტკიცეზე გაანგარიშებით დადგინდება ზედა ნაშენის მინიმალურად აუცილებელი ტიპი ექსპლუატაციის ამა თუ იმ პირობებისათვის, ხოლო ტვირთდაძაბულობის მიხდვით ტექნიკურ-ეკონომიკური გაანგარიშების საფუძველზე შეირჩევა ლიანდაგის ზედა ნაშენის მიზანშეწონილი ტიპი.

ლიანდაგის ზედა ნაშენის სიმტკიცეზე და მდგრადობაზე გაანგარიშება ეფუძნება ღუნვის ისეთ თეორიას, რომლის მიხედვითაც რელსი განიხილება, როგორც უსასრულო სიგრძის უჭრი კოჭი, მდებარე მთლიანად დრეკად საფუძველზე. გაანგარიშებები ეკრდნობა ალბათობის თეორიას და მათემატიკური სტატისტიკის კანონზომიერებებს, რადგანაც ლიანდაგზე მოქმედი ძალები მრავალფეროვანი და ცვალებადია. ამ ძალების ლიანდაგზე მოქმედების ჯამური შედეგი ნებისმიერ საანგარიშო კვეთში, ნებისმიერ მოქმენები წარმოადგენს შემთხვევით, ალბათობით სიდიდეს. ამგვარად რკინიგზის ლიანდაგის სიმტკიცეზე და მდგრადობაზე გაანგარიშების ამოცანაა ძაბვებისა და დეფორმაციების სიდიდეების განსაზღვრა, რომლებიც წარმოიშობა მის ელემენტებში, ლიანდაგში მოქმედი ფაქტორებისა და საკუთარი ძაბვების ზემოქმედების გათვალისწინებით. შესაძლოა ამ ამოცანის დაექნება სხვანაირადაც: ტვირთდაძაბულობისა და გატარებული ტვირთების რაოდენობის გათვალისწინებით, განისაზღვროს ისეთი დატვირთვები და მოძრაობის სიჩქარის მნიშვნელობები, რომლის დროსაც ძაბვები და დეფორმაციები არ გადააჭარბებენ დასაშვებ სიდიდეებს, მაშასადამე ლიანდაგის სიმტკიცე და მდგრადობა უზრუნველყოფილი იქნება. ბევრ შემთხვევაში ლიანდაგის სიმტკიცეზე და მდგრადობაზე გაანგარიშება ტექნიკურ-ეკონომიკური გაანგარიშებების ნაწილია.

ლიანდაგის ზედა ნაშენის სიმტკიცეზე და მდგრადობაზე გაანგარიშების სიზუსტე დამოკიდებულია, მრავალ სხვადასხვანაირი ფაქტორების ზემოქმედებაზე. ამიტომ პირველ ყოვლისა საჭიროა ამ ზემოქმედებათა ხასიათის შესწავლა, რისთვისაც თანამიმდევრობით განიხილება ჯერ მოძრავი შემადგენლობისა

და ბუნებრივი ფაქტორების ზემოქმედება ლიანდაგზე, აგრეთვე საკუთარი ზემოქმედება, რომელიც დაკავშირებულია კონსტრუქციის დამზადებასთან, დაგებასთან, მოვლა-შენახვასთან და შეკეთებასთან. განხილულ უნდა იქნას აგრეთვე ლიანდაგის მახასიათებლები, რომლებიც საჭიროა გაანგარიშების ჩასატარებლად და ბოლოს, თვით გაანგარიშება ზემოქმედებათა მრავალჯერადობისა და ერთობლიობის გამომეუდავნების შესაძლო აღრიცხვით და ლიანდაგის წინაღობის ცვალებადობის გათვალისწინებით.

როგორც ცნობილია, მოძრავი შემადგენლობის ნებისმიერი ერთგული შედება დარესორებული (ძარა) და დაურესორებელი ანუ რესორსექვედა ნაწილებისაგან. მათი ზემოქმედებით რკინიგზის ლიანდაგს შეუძლია განიცადოს დეფორმაცია, როგორც ვერტიკალური, ისე პორიზონტალური მიმართულებით.

სწორ, თარზულ ლიანდაგზე უქარო ამინდში მდგარი ვაგონი ან ლოკომოტივი (გამორთული ძრავებით) მხოლოდ სტატიკურად ზემოქმედებს ლიანდაგზე, თავისი წონით. დერძზე მოსული სტატიკური დატვირთვა, რომელიც გადაეცემა ლიანდაგს თანამედროვე ვაგონებისაგან 20-21 ტონას შეადგენს, ლოკომოტივებისაგან კი არა უმტეს 23 ტონას. ამერიკის შეერთებულ შტატებში ლოკომოტივების დერძზე მოსული დაწოლა 29-33 ტონას აღწევს.

მოძრაობის დროს ეკიპაჟის ზემოქმედება ლიანდაგზე გაცილებით უფრო რთული ხასიათისაა. სტატიკურ მდგომარეობაში თანაბრად განაწილებული დატვირთვაც კი მოძრაობის დროს დერძებს შორის არათანაბარად გადანაწილდება.

ლიანდაგზე ეკიპაჟის მოძრაობის დროს, ეკიპაჟის წონის გარდა მოქმედებები აგრეთვე დამატებითი ინერციული ძალები, რომლებიც წარმოიშობიან: რესორების რევეზის (დეფორმაციის) შედეგად, მოძრავი შემადგენლობის თვლებზე არსებული უსწორობებისაგან (იზოლირებული და უწყვეტი უსწორობები) და ლიანდაგის უსწორობებისაგან. ლიანდაგზე მოქმედებს აგრეთვე წევისა და დამუხრუჭების ძალები; წაძვრის ძალები; ტემპერატურული ძალები და სხვა.

ლიანდაგზე მოქმედი ძალები თრ ძირითად ჯგუფად იყოფიან: ვერტიკალური და პორიზონტალური ძალები. მაგრამ გაანგარიშებებში მნიშვნელოვან როლს ასრულებენ აგრეთვე ირიბი სივრცითი ძალები და მგრეხი მომენტები. ამიტომ ლიანდაგის ზედა ნაშენის სივრცობრივი გაანგარიშება საერთო გაანგარიშებების ერთ-ერთი ნაწილია.

1. ლიანდაბის ზედა ნაშენის გაანგარიშება სიმულაციები

1.1. ძირითადი დაშვებები და წანამდღვრები ლიანდაგის სიმტკიცეზე გაანგარიშების დროს

რეინიგზის ლიანდაგზე მოქმედი ძალების სიდიდე და მათი მოდების სქემა აღდათობითი ხასიათისაა და ზუსტ განსაზღვრას არ ექვემდებარება. ამიტომ ლიანდაგის სიმტკიცეზე გაანგარიშების საფუძვლებში ჩადებულია შემდეგი ძირითადი დაშვებები და წანამდღვრები:

1. რელსი განიხილება, როგორც უსასრულო სიგრძის უჭრი კოჭი. პირაპირების გავლენის გამორიცხვის მიზნით საანგარიშო კვეთი აღებულ უნდა იქნას პირაპირიდან არა ნაკლებ 3,5 მეტრის დაშორებით. პირაპირის კონსტრუქცია კი ცალკე გაიანგარიშება;
2. რელსი, როგორც უსასრულო სიგრძის უჭრი განიხილება მდებარე თანაბარდღევად საფუძველზე. სინამდვილეში იგი დევს ურთიერთ ახლო განლაგებულ წერტილოვან საფუძველზე – შპალებზე. ამ დაშვების საფუძველს იძლევა რელსის დიდი სიხისტე და თანაბარდღევად საფუძველზე – ბალასტზე განლაგებული შპალები, რომლებიც ერთმანეთთან იმდენად ახლოს მდებარეობს, რომ ვერტიკალური დატვირთვების დროს რელსების ჩაღუნვის სიდიდე შპალებს შორის და შპალების ქვეშ პრაქტიკულად თანაბარია. ანგარიშების შედეგის ცდომილება ასეთი დაშვებების დროს 5%-ს არ აღემატება;
3. დაშვებულია, რომ ვერტიკალური ძალები მოდებულია რელსის სიმტკიცის ვერტიკალური დერძის გასწვრივ და ორთავე სარელსო ძაფი თანაბარად არის დატვირთული. ამ შემთხვევაში რელსის დახრილობა $1/20$ მხედველობაში არ მიიღება. პორიზონტალური ძალების ზემოქმედების, ვერტიკალური ძალების ექსცენტრული მოდების და რელსების $1/20$ დახრილობის გათვალისწინება ხდება f კოეფიციენტის საშუალებით, რომელიც ყოველთვის მეტია ერთზე, ე.ო. $f > 1$.
 f კოეფიციენტი მოძრავი შემადგენლობის საპასპორტო სიდიდეა და დამოკიდებულია მოძრავი შემადგენლობის ტიპზე, ლიანდაგის გეგმაზე და რელსების ტიპზე. იგი ცდების შედეგად არის დადგენილი.

- მრუდში პორიზონტალური ძალების ზემოქმედება განიხილება გარე რელსის მიმართ;
4. დაშვებულია, მოძრაობის დროს თვალი არ წყდება რელსს, ე.ი. მიღებულია, რომ თვლის დარტყმით ზემოქმედებას ადგილი არ აქვს. თვლის დარტყმითი ზემოქმედება ცალკე განიხილება;
5. დაშვებულია სარელსო საფუძვლის ორმხრივი რეაქცია (ქვემოდან ზემოთ და ზემოდან ქვემო), მაშინ, როდესაც სარელსო საფუძვლის რეაქციის მიმართულება სინამდვილეში ცალქმნივია (ქვემოდან ზემოთ);
6. დატვირთვების სისტემის ზემოქმედება გაანგარიშებებში დაფუძნებულია სარელსო საფუძვლის ერთეულ დაწოლასა და ამ დაწოლით გამოწვეულ დრეკად ჩაღუნვის შორის ხაზობრივი დამოკიდებულების პიროვნება;
7. ლიანდაგის ელემენტებში ძაბვების განსაზღვრისას სტატიკური ფორმულები ძალაში რჩება დინამიკის დროსაც. ე.ი. არადრეკადი წინაღობების, რხევებისა და დეფორმაციათა გავრცელების სიჩქარეები მხედველობაში არ მიიღება;
8. გაანგარიშებებში დატვირთვების სისტემის ზემოქმედებისას მიღებულია ძალთა დამოკიდებულების კანონი. ე.ი. დეფორმაციებისა და ძაბვების სიდიდეები ნებისმიერ კვეთში, გამოწვეული თითოეული ძალისაგან შეიკრიბება მათი აბსოლუტური სიდიდისა და ნიშნის მიხედვით;
9. გაანგარიშების დროს დაშვებულია, რომ მოძრავი შემადგენლობის საფალი ნაწილები და ლიანდაგის კონსტრუქცია მთლიანობაში გამართულ მდგომარეობაშია და ზუსტად პასუხობს ტექნიკური ექსპლუატაციის წესების მოთხოვნებს;
10. გაანგარიშებებში ლიანდაგის ზედა ნაშენის წონა მხედველობაში არ მიიღება, რადგანაც მისი გავლენა ძაბვების სიდიდეზე მეტად უმნიშვნელო.
11. ლიანდაგის ელემენტებში კერტიკალური დინამიკური ძალებით გამოწვეული ძაბვების განსაზღვრისათვის მიღებულია, რომ საანგარიშო თვლიდან საანგარიშო პერიოდში გადაეცემა მაქსიმალური რეალური დატვირთვა $\Phi=0,994$ ალბათობით, ხოლო მეზობელი თვლებიდან საშუალო სიდიდის დატვირთვები.
- ასეთი დაშვება პრაქტიკულად მცირე ცდომილებას იწვევს, რადგანაც მეზობელი თვლების გავლენა საანგარიშო კვეთში ძაბვებისა და დრეკადი ჩაღუნვის სიდიდეებზე 20%-ს არ აღემატება. გარდა ამისა მეზობელი თვლებისაგან გადაცე-

მული დატვირთვები იწვევს კვეთის არა მარტო გადამეტტვირთვას, არამედ ზოგჯერ განტვირთვას, რაც კიდევ უფრო ამცირებს საანგარიშო კვეთზე მეზობელი თვლების გადლენის ხარისხს;

12. გაანგარიშებებით დადგინდება ლიანდაგის ელემენტებში დასაშვები ძაბვები და არა მათი სამსახურის ვადა რესურსების ამოწურვაზე.

12. სარელსო საფუძვლის დრეპადობის მოდული

ნებისმიერი კონსტრუქციის დრეპადობის ხარისხს განსაზღვრავს ორიდან ერთ-ერთი მახასიათებელი: **სიხისტის კოეფიციენტი**, რომელიც წარმოადგენს დატვირთვის ისეთ სიდიდეს, რომელიც იწვევს ერთეული სიდიდის დრეპად ჩაღუნვას. ან **დრეპადობის კოეფიციენტი**, რომელიც წარმოადგენს ჩაღუნვის სიდიდეს გამოწვეულს ერთეული სიდიდის დატვირთვისაგან. როგორც ცნობილია ლიანდაგის სიმტკიცეზე გაანგარიშებებში დაშვებულია ჩაღუნვისა და დატვირთვის სიდიდებს შორის ხაზობრივი დამოკიდებულება. ამ დამოკიდებულების საფუძველზე შეიძლება დავწეროთ:

$$P = Cy \quad (1.1)$$

სადაც P – შპალის საწოლის 1m^2 მოსული დატვირთვაა;

y – შპალის დრეპადი ჩაღუნვის სიდიდე;

C – შპალის საფუძვლის დრეპადობის მახასიათებელი, კ.წ. საფუძვლის დამყოლობის ანუ შპალის საწოლის კოეფიციენტი. დაწოლის ძალა, რომელიც იწვევს შპალის დრეპად ჩაღუნვას ერთეული სიდიდით, კგ/მ² და ტოლია

$$C = \frac{P}{y} \quad (1.2)$$

როცა $y = 1$, მაშინ $C = P$.

შპალის საწოლის კოეფიციენტი C წარმოადგენს ლიანდაგის საფუძვლის დრეპადობის ხარისხის მახასიათებელს, დამოკიდებულს ბალასტის სახეობაზე, მისი გაჭუჭყიანების ხარისხზე, დატვირთვის ძალაზე, მიწის ვაკისის მდგრადრებაზე, წელიწადის დროზე. C კოეფიციენტის მნიშვნელობა გაყინული ბალასტისათვის გაცილებით მეტია, ვიდრე გაუყინავისათვის.

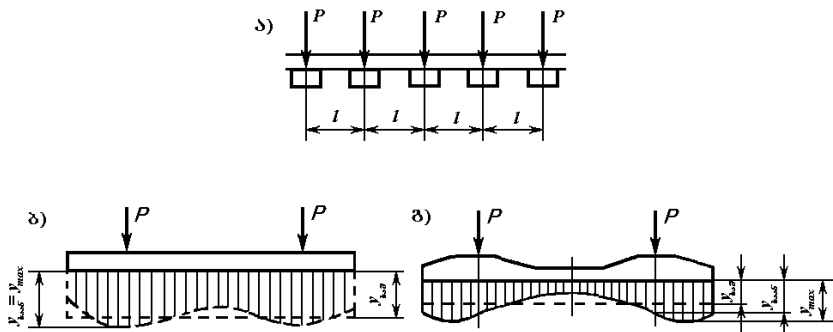
თუ დაუშვებთ, რომ შპალის მასალა აბსოლუტურად ხისტია და შპალზე თითოეული რელსიდან გადაეცემა $P_1 = P_2 = P$ ძალა, მაშინ შპალის დრეკადი საშუალო ჩაღუნვა ტოლი იქნება $y_{\text{საშ}}$ და შეგვიძლია დავწეროთ (ნახ. 1.1):

$$2P = Cab y_{\text{საშ}} \quad (1.3)$$

სადაც b – შპალის სიგრძეა;

a – შპალის სიგანე.

შპალის გაღუნვის გამო, ფაქტურად მის ქვეშ დრეკად ჩაღუნვებს სხვადასხვა მნიშვნელობები ექნება. ხის შპალის შემთხვევაში დრეკადი ჩაღუნვა მაქსიმალურ სიდიდეს $y_{\text{max}} = y_{\text{საშ}}$ რელსების ქვეშ აღწევს (ნახ. 1.1-ბ), ხოლო შპალის ბოლოებში და მის შუაში იგი მცირდება. რკინაბეტონის შპალებში დრეკადი ჩაღუნვის ეპიურას განსხვავებული სახე აქვს. ამ შემთხვევაში დრეკადი ჩაღუნვის სააგარიშო სიდიდე აიღება რელსების ქვეშ, ხოლო მაქსიმალურ მნიშვნელობას იგი შპალების ბოლოებში აღწევს (ნახ. 1.1-გ).



ნახ.1.1 შპალებზე ძალების გადაცემის სქემა (ა);
შპალების დრეკადი ჩაღუნვა დატვირთვის ქვეშ: (ბ) ხის
შპალების და (გ) რკინაბეტონის შპალების.

შპალის საშუალო დრეკადი ჩაღუნვა ტოლია

$$y_{\text{საშ}} = \alpha y_{\text{სააგ}}, \quad (1.4)$$

მაშასადამე

$$2P = C \alpha ab y_{\text{სააგ}}, \quad (1.5)$$

$$P = \frac{C \alpha ab}{2} y_{\text{სააგ}}, \quad (1.6)$$

თუ დაუშვებთ, P ძალა იწვევს შპალის დრეკად ჩაღუნვას ერთეული სიდიდით, ე.ო. $y_{\text{ხასტ}} = 1$, მივიღებთ

$$P = \frac{C\alpha ab}{2} \quad (1.7)$$

სადაც α – შპალის დრეკადი გაღუნვის კოეფიციენტია,
 $\alpha = 0,7 \div 0,9$ ხის შპალებისათვის; $\alpha = 0,9$ რკინა-
 ბეტონის შპალებისათვის.

რელსის, როგორც მთლიანად დრეკად საფუძველზე მდებარე უქრი კოჭის გაანგარიშებისათვის, P ძალა მოდებულია თანაბრად განაწილებული ტვირთის სახით, შპალების დერძებს შორის l მანძილზე, მაშინ

$$U = \frac{P}{l} \quad (1.8)$$

აქედან

$$P = Ul \quad (1.9)$$

ხოლო

$$U = \frac{C\alpha ab}{2l} \quad (1.10)$$

U – სარელსო საფუძვლის დრეკადობის მოდულს წარმოადგენს. იგი რიცხობრივად რელსის ერთეულ სიგრძეზე მოდებული თანაბრად განაწილებული დატვირთვის ტოლია და რომელიც იწვევს ერთეული სიდიდის დრეკად ჩაღუნვას.

თანაბარდრეკადი საფუძვლის რეაქციის ძალა q_x თანაბრად განაწილებული ტვირთით დატვირთული რელსის საფუძველზე დაწოლის ინტენსივობის ტოლია, რომელიც იწვევს y სიდიდის დრეკად ჩაღუნვას.

$$q_x = Uy \quad (1.11)$$

ერთეული სიდიდით ჩაღუნვის შემთხვევაში, როცა $y = 1$

$$q_x = U \quad (1.12)$$

ხის შპალებისათვის ზაფხულის პერიოდში სარელსო საფუძვლის დრეკადობის მოდული $U = 200 \div 300$ კგ/სმ² ფარგლებში, ხოლო ზამთრის პერიოდში $U = 450 \div 500$ კგ/სმ² ფარგლებში.

რკინაბეტონის შპალების სარელსო საფუძვლის დრეკადობის მოდულის სიდიდე გაცილებით მეტია, ვიდრე ხის შპალებისა და აღწევს $U = 1700 \div 2000$ კგ/სმ².

1.3 ლიანდაგზე მაღლა ზემოქმედების აღძათობითი ხასიათი

ტექნიკაში და საინჟინრო საქმეში ხშირია, რომ რაიმე ცვალებად სიდიდეთა ცალკეულ დაკვირვებათა მნიშვნელობების მწერივის მიხედვით განისაზღვროს მისი საშუალო სიდიდე. ასეთებს მიეკუთვნება, მაგალითად, სვლის დრო, რომელიმე სამანერო ოპერაციის ხანგრძლივობა, მაგრამ რელსის რომელიმე კვეთში ერთი და იმავე დატვირთვისა და ერთნაირი სიჩქარის დროს, რომელიმე მანქანის გამომუშავება და სხვა.

ვთქვათ გაძვეს გამოსაკვლევი სიდიდის ცალკეულ კერძო მნიშვნელობათა შემდგენ რიგი:

$$X_1, X_2, X_3, \dots, X_i, \dots, X_n$$

ამ ცალკეულ კერძო მნიშვნელობათა საშუალო არითმეტიკული სიდიდე იქნება

$$\overline{X_{\text{საშ}}} = \frac{X_1 + X_2 + X_3 + \dots + X_n}{n} = \frac{\sum^n X_i}{n} \quad (1.13)$$

რაც მეტია დაკვირვებათა რიცხვი n მით უფრო მეტი სიზუსტით ახასიათებს საშუალო არითმეტიკული სიდიდე გამოსაკვლევ ფაქტორს.

ამავე დროს საშუალო არითმეტიკული სიდიდის მნიშვნელობას ახასიათებს მეტად მნიშვნელოვანი ნაკლი, რომ იგი სრულად ვერ ახასიათებს ცალკეულ კერძო მნიშვნელობათა საშუალო სიდიდიდან გადახრის ხარისხს, ე.ო. ვერ ახასიათებს ცალკეულ კერძო მნიშვნელობათა გამომხატველ წერტილთა განთვალისწინების ხარისხს.

ამის საილუსტრაციოდ მოვიყვანოთ ასეთი მაგალითი: თუ ერთ შემთხვევაში დაკვირვებათა შედეგების ცალკეული მნიშვნელობები (ამ შემთხვევაში რელსში ძაბვის სიდიდეები) ტოლია $X_1=900$ კგ/სმ² და $X_2=700$ კგ/სმ², მაშინ მათი საშუალო არითმეტიკული მნიშვნელობა ტოლი იქნება $\overline{X}=800$ კგ/სმ².

მეორე შემთხვევაში დაკვირვებათა ცალკეული მნიშვნელობები შეიძლება იყოს $X_1=1200$ კგ/სმ² და $X_2=400$ კგ/სმ², ხოლო

მათი საშუალო არითმეტიკული სიდიდე ტოლია $\overline{X}=800$ კგ/სმ².

როგორც მაგალითებიდან ჩანს, საშუალო არითმეტიკული მნიშვნელობა ორივე შემთხვევაში ერთნაირი სიდიდისაა, მაგრამ იგი სრულად ვერ ასახავს ცალკეულ კერძო მნიშვნელობათა აბსოლუტურ სიდიდეებს, როცა მაქსიმუმი ერთ შემთხვევაში

ტოლია $X_{\max} = 1200 \text{კგ/სმ}^2$, მეორე შემთხვევაში $X_{\max} = 900 \text{კგ/სმ}^2$, ასევე ამ მნიშვნელობათა მინიმუმი ერთ შემთხვევაში $X_{\min} = 700 \text{კგ/სმ}^2$, ხოლო მეორე შემთხვევაში $X_{\min} = 400 \text{კგ/სმ}^2$ ტოლია.

ბუნებრივია, ცალკეულ კერძო მნიშვნელობათა საშუალო არითმეტიკულის ნაცვლად ვითოვოთ ისეთი მაჩვენებელი, რომელიც შესაძლებლობას მოგვცემს გათვალისწინებულ იქნეს ცალკეულ კერძო მნიშვნელობათა აბსოლუტური მნიშვნელობების სიდიდეც, ანუ მათი განთვესგა.

ცალკეულ კერძო მნიშვნელობათა განთვესების ხარისხი შეიძლება გათვალისწინებულ იქნას, თუ ავიდებთ თითოეულ ამ მნიშვნელობათა და საშუალო არითმეტიკული სიდიდის სხვაობას, შევკრებთ მათ და გავყოფთ დაკვირვებათა რიცხვზე, ე.ი.

$$\frac{\sum(\bar{X} - X_i)}{n} \quad (1.14)$$

მაგრამ ეს სიდიდე თვით საშუალო არითმეტიკული სიდიდის ბუნებიდან გამომდინარე ნულის ტოლია. განხილული მაგალითის მიხედვით

$$\frac{(800 - 900) + (800 - 700)}{2} = \frac{-100 + 100}{2} = 0$$

ამიტომ ცალკეულ კერძო მნიშვნელობათა განთვესების ხარისხის გათვალისწინების მიზნით გამოთვლიან ამ მნიშვნელობათა საშუალო არითმეტიკულ სიდიდეს, შემდეგ გამოთვლიან საშუალო არითმეტიკულისა და თითოეულ ცალკე მნიშვნელობათა სხვაობას, აიყვანენ კვადრატული და ამოფესვავენ. ამით მიიღება საშუალო კვადრატული გადახრის სიდიდე

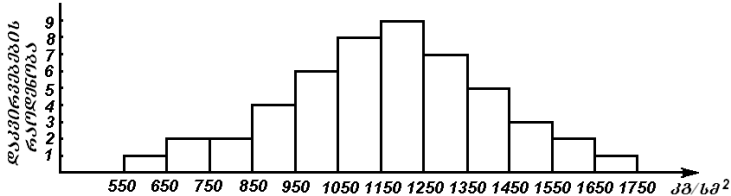
$$S = \sqrt{\frac{\sum(\bar{X} - X_i)^2}{n}} \quad (1.15)$$

ფესვები მნიშვნელობა წარმოადგენს ცალკეულ მნიშვნელობათა განთვესების ხარისხს. მას დისპერსია ეწოდება. ე.ი. დისპერსია ტოლია S^2 .

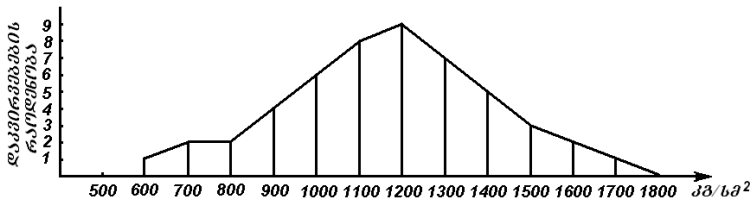
ლიანდაგის ნებისმიერ საანგარიშო კვეთში მოქმედ მუდმივ და ცვალებად ძალთა ერთობლივი მოქმედების ალბათობითი ხასიათის გამო, ამ ძალების ტოლქედი უნდა განისაზღვროს ალბათობის ისეთი ხარისხით, რომელიც უზრუნველყოფს კონსტრუქციის გამართულ მუშაობას ნებისმიერ საექსპლუატაციო პირობებში.

საერთოდ არსებობს ცალკეულ კერძო მნიშვნელობათა განაწილების სხვადასხვა კანონები, რომელთა მიხედვით აიგება განაწილების ალბათობის მრუდები. საინჟინრო პრაქტიკაში ფართოდ არის გავრცელებული ცალკეულ კერძო მნიშვნელობათა ნორმალური განაწილების, ანუ გაუსის მრუდები, (ნახ. 1.2).

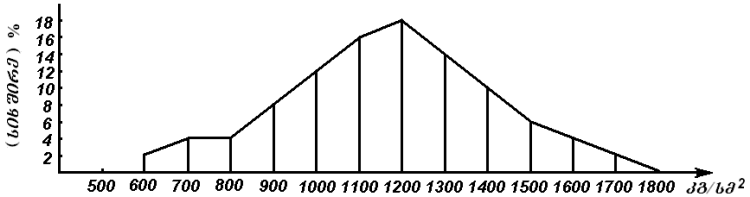
ა)



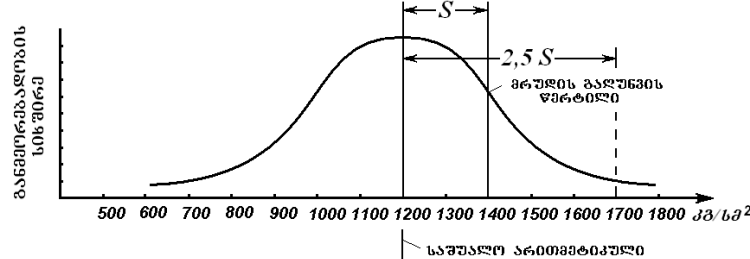
ბ)



გ)



დ)



ნახ. 1.2. კერძო მნიშვნელობათა განთვევის გრაფიკები:

ა – განაწილების პისტოგრამა; ბ – განაწილების მრავალჯუთები; გ – სიხშირეების პოლიონი; დ – ნორმალური განაწილების (გაუსის) მრუდი.

მათგმატიკური სტატისტიკის კანონების მიხედვით ცალკეულ კერძო მნიშვნელობათა ნორმალური განაწილების ალბათობის შემთხვევაში ცვალებად ძალთა ტოლქმედი, რომელიც გარკვეული ალბათობით უზრუნველყოფს კონსტრუქციის გამართულ მუშაობას ტოლია:

$$P_{\max} = \bar{P} + \lambda_{\phi} S \quad (1.16)$$

სადაც \bar{P} – ცვალებად ძალთა საშუალო არითმეტიკული მნიშვნელობაა;

λ_{ϕ} – მანორმირებელი მამრავლი (კანტილი), რომელიც უზრუნველყოფს P_{\max} ძალის ისეთ მნიშვნელობას, რომელიც შეესაბამება ალბათობის ჩვენთვის მისაღებ Φ დონეს, ამოიღება (ცხრილებიდან, (ცხრ.1.1)). $\lambda_{\phi} = 2,5$ ეს ისეთი მნიშვნელობაა, რომელიც უზრუნველყოფს ალბათობის სიზუსტეს 99,4%, ე.ი. შეიძლება დაგწეროთ

$$P_{\max} = \bar{P} + 2,5S \quad (1.17)$$

$$\text{ნახ.1.2-ის მიხედვით } \bar{P} = 1200 \text{ კგ/სმ}^2, S = 200 \text{ კგ/სმ}^2, \text{ მაშასადამე} \\ P_{\max} = 1200 + 2,5 \times 200 = 1700 \text{ კგ/სმ}^2$$

ცხრილი 1.1.

λ_{ϕ}	0	1	2	2,5	3	4	5	6
$P_{\max} =$ $\bar{P} + \lambda_{\phi} S$	\bar{P}	$\bar{P} \pm S$	$\bar{P} \pm 2S$	$\bar{P} \pm 2,5S$	$\bar{P} \pm 3S$	$\bar{P} \pm 4S$	$\bar{P} \pm 5S$	$\bar{P} \pm 6S$
Φ	0,500	0,84134	0,97725	0,99379	0,99865	0,999968	0,9999997	1,0000

14. ლიანდაგის სიმტკიცეზე სტატიკური გაანგარიშების საფუძვლები გერტიკალური ძალების ზემოქმედებაზე

რელსის, როგორც დრეკად საფუძველზე მდებარე უჭრი კოჭის სტატიკური გაანგარიშების ძირითად მახასიათებელს წარმოადგენს კავშირი დრეკადი ჩაღუნვის სიდიდესა და საფუძვლის q_x რეაქციას შორის.

ძირითადი საანგარიშო ფორმულების გამოსაყვანად სარგებლობები მასალათა გამძლეობის კანონებით, კერძოდ შვენდლერ-ჟურავსკის ოქორით.

ცნობილია, რომ კოჭზე მოქმედი მღვნავი მომენტი ტოლია

$$M = -EI \frac{d^2y}{dx^2} \quad (1.18)$$

სადაც E – კოჭის მასალის დრეკადობის მოდულია. სარელსო

$$\text{ფოლადისათვის } E = 2,1 \times 10^6 \text{ კგ/სმ}^2;$$

I – რელსის ინერციის მომენტი;

EI – რელსის სიხისტე.

განივი ძალა კი ტოლია რელსის EI სიხისტისა და დრეკადი ჩაღუნვის მესამე რიგის წარმოებულის ნამრავლის

$$Q = -EIY''' \quad (1.19)$$

ვიცით, რომ

$$q_x = -Uy \quad (1.20)$$

მაშინ

$$Uy = -EIy^{IV} \quad (1.21)$$

(1.21) გავყოთ EI და გავუტოლოთ ნულს:

$$y^{IV} + \frac{U}{EI} y = 0 \quad (1.22)$$

(1.22) წარმოადგენს ძირითად საანგარიშო დიფერენციალურ განტოლებას. ამ განტოლებაში საანგარიშო ზედა ნაშენისათვის, სარელსო საფუძვლის დრეკადობის მოდული U და რელსის სიხისტე EI მუდმივ სიდიდეებს წარმოადგენენ.

(1.22) განტოლების ამოსახსნელად უნდა შედგეს მახასიათებელი განტოლება $y^4 + 4k^4 = 0$, ამასთან ერთად შემოგვაჭვს აღნიშვნა

$$\frac{U}{EI} = 4k^4 \quad (1.23)$$

(1.23) ფორმულიდან

$$k = \sqrt[4]{\frac{U}{4EI}} \text{ სმ}^{-1} \quad (1.24)$$

როგორც ვხედავთ k სიდიდე დამოკიდებულია სარელსო საფუძვლის სიხისტის U მახასიათებელზე და რელსის სიხისტის EI სიდიდეთა ფარდობაზე, ამიტომ იგი წარმოადგენს სარელსო საფუძვლისა და რელსის სიხისტის ფარდობით კოეფიციენტს.

ძირითადი დიფერენციალური (1.22) განტოლების გაინტეგრა-
ლებით, ცნობილი ($x = \infty, y = 0; x = 0, y' = 0; x = 0, Q = \frac{P}{2}$) ზღვრული
პირობების ფარგლებში მივიღებთ ძირითად საანგარიშო ფორ-
მულებს, რომლებითაც სარგებლობებს ლიანდაგის სიმტკიცეზე
გაანგარიშების დროს

მდუნავი მომენტი

$$M = \frac{P}{4k} \mu \quad (1.25)$$

რელსების დრეკადი ჩაღუნვის სიდიდე

$$y = \frac{Pk}{2U} \eta \quad (1.26)$$

შპალზე გადაცემული დატვირთვა (განივი ძალა) გამომდინა-
რე იქნდან, რომ რელსის ერთეულ სიგრძეზე რეაქციული
უკუკვევა ტოლია q_x სიდიდის, ხოლო შპალების დერძებს შორ-
ის მანძილია l , ტოლი იქნება $Q = q_x l$, $q_x = Uy$, მაშინ

$$Q = Uyl = U \frac{Pk}{2U} \eta l = \frac{Pkl}{2} \eta \quad (1.27)$$

$$(1.25), (1.26) \text{ და } (1.27) \text{ ფორმულებში } \frac{P}{4k}, \frac{Pk}{2U} \text{ და } \frac{Pkl}{2} \text{ მუდმივი}$$

სიდიდეები მრავლდება μ და η სიდიდეებზე.

სადაც μ – მდუნავი მომენტის გავლენის ხაზის ორდინატაა,
(ნახ.1.3);

η – განივი ძალისა და რელსის დრეკადი ჩაღუნვის
გავლენის ხაზის ორდინატები. (ნახ.1.4).

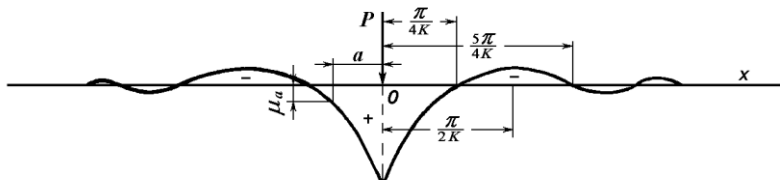
$$\mu = e^{-kx} (\cos kx - \sin kx) \quad (1.28)$$

$$\eta = e^{-kx} (\cos kx + \sin kx) \quad (1.29)$$

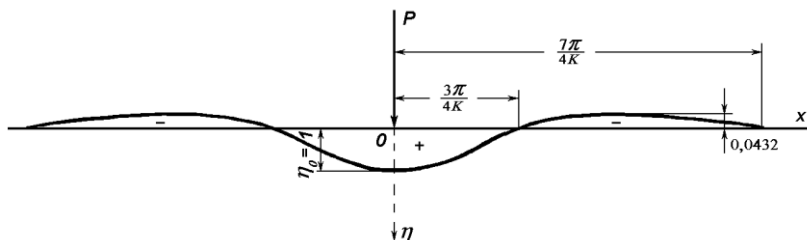
როგორც ვხედავთ μ და η სიდიდეები დამოკიდებულია kx
ნამრავლის ფუნქციაზე. ფუნქცია kx საშუალებას იძლევა გამო-
ვთვალოთ μ და η მნიშვნელობები x -ის ნებისმიერი მნიშვნელ-
ობისათვის.

μ და η მნიშვნელობები საანგარიშო კვეთში, საანგარიშო
თველის ქვეშ მიიღება 1-ის ტოლი. საანგარიშო კვეთიდან დაშო-
რების პროპორციულად მათი მნიშვნელობები მცირდება და შეი-
ძლება მინუს ნიშნით აღმოჩნდეს. ამ ეპიურების ერთ-ერთი თავი-
სებურებაა მათი გავლენის სწრაფად ჩაქრობა, ამიტომაც საან-

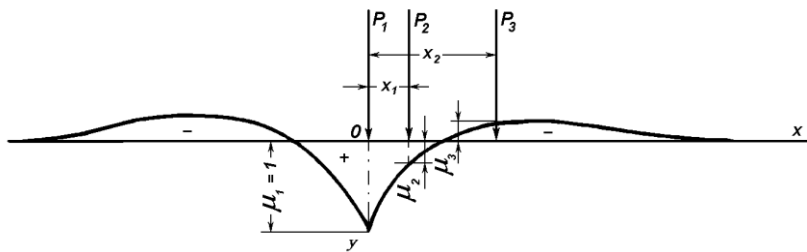
გარიშო კვეთიდან 3,5 მ-ზე მეტი დაშორების შემთხვევაში μ და η შეიძლება ნულს გავუტოლოთ. რაც იმას ნიშნავს, რომ საანგარიშო თვლის გავლენა 3,5 მ-ს იქნა პრაქტიკულად არ კრიკელდება.



ნახ. 13. μ -ს ეპიურა P ძალის 0 კვეთში მოღების შემთხვევაში



ნახ. 14. η -ს ეპიურა P ძალის 0 კვეთში მოღების შემთხვევაში



ნახ. 15. მღუნავი მომენტის საანგარიშო სქემა 0 კვეთში ძალთა სისტემის მოღების შემთხვევაში (μ -ს ეპიურა)

დაგუშვათ, რომ რელსზე მოქმედებს რამდენიმე ძალა, მაგალითად P_1, P_2 და P_3 (ნახ. 15), მაშინ ამ ძალების ზემოქმედებისა-

გან გამოწვეული მდუნავი მომენტი 0 წერტილის მიმართ ტოლი იქნება:

$$M = [P_1\mu_1 + P_2\mu_2 + P_3(-\mu_3)] \frac{1}{4k} \quad (1.32)$$

ანუ

$$M = \frac{1}{4k} \sum P_i \mu_i \quad (1.33)$$

ხოლო რელსის ფუძის წიბოში ძაბვა გამოწვეული მდუნავი მომენტისაგან ტოლი იქნება

$$\sigma = \frac{M}{W} = \frac{1}{4kW} \sum P_i \mu_i \quad (1.34)$$

ანალოგიური მსჯელობით შეგვიძლია დავწეროთ, რომ

$$Q = \frac{kl}{2} \sum P_i \eta_i \quad (1.35)$$

და

$$y = \frac{k}{2U} \sum P_i \eta_i \quad (1.36)$$

1.5. ლიანდაგის დინამიკური გაანგარიშების საფუძვლები ერტიკალური ძალების ზემოქმედებაზე

ლიანდაგის დინამიკური გაანგარიშების ამოსავალი წერტილი არის ის, რომ საანგარიშო კვეთში სტატიკურად მოდებული დატვირთვათა სისტემა ამავე დატვირთვათა დინამიკური ზემოქმედების ექვივალენტური იყოს.

რადგანაც μ და η ეპიურები ერთმანეთისაგან მკვეთრად განსხვავდება, ამდენად ექვივალენტური დინამიკური ძალებიც შესაბამისად დამოკიდებულია μ და η სიღიღებზე. მასაშადამე გაანგარიშებებში მონაწილეობს $P_{\text{აა}}^I$ ძალა, რომლის მიხედვითაც გამოითვლება მდუნავი მომენტი და $P_{\text{აა}}^{II}$ ძალა, რომელზედაც დამოკიდებულია რელსის დრეკადი ჩაღუნვა და შპალზე გადაცემული დატვირთვა.

ვსარგებლობთ რა (1.33), (1.35) და (1.36) ფორმულებით შეგვიძლია დავწეროთ:

რელსზე მოქმედი დინამიკური მომენტი

$$M_{\text{гюб}} = \frac{1}{4k} P_{\text{адз}}^{\text{I}} \mu \quad (1.37)$$

რადგანაც საანგარიშო კვეთში $\mu = 1$, მაშინ

$$M_{\text{гюб}} = \frac{1}{4k} P_{\text{адз}}^{\text{I}} \quad (1.38)$$

ხოლო, პორიზონტალური განივი ძალების და ვერტიკალური დატვირთვების ექსცენტრული მოდების გათვალისწინებით

$$M_{\text{гюб}} = \frac{f}{4k} P_{\text{адз}}^{\text{I}} \quad (1.39)$$

რელსის დრეკადი ჩაღუნვის სიდიდე საანგარიშო კვეთში, როცა $\eta = 1$

$$y_{\text{гюб}} = \frac{k}{2U} P_{\text{адз}}^{\text{II}} \quad (1.40)$$

შპალებზე გადაცემული დატვირთვა საანგარიშო კვეთში, როცა $\eta = 1$

$$Q_{\text{гюб}} = \frac{kl}{2} P_{\text{адз}}^{\text{II}} \quad (1.41)$$

$P_{\text{адз}}^{\text{I}}$ და $P_{\text{адз}}^{\text{II}}$ ექვივალენტური ძალები წარმოადგენენ ჯამურ ძალებს, რომლებიც შედგებიან ლიანდაგზე მოქმედი სხვადასხვა ძალებისაგან, რომელთაგან მხოლოდ სტატიკური დატვირთვა $P_{\text{вн}}$ წარმოადგენს მუდმივი სიდიდის ძალას. დანარჩენი ძალები კი ცვალებადი სიდიდისაა და მათი სიდიდები დამოკიდებულია მრავალ რიცხვებზე და სუბიექტურ ფაქტორზე.

დამატებითი დინამიკური ძალების წარმომშობი ფაქტორებია: რესორების რხევა, ლიანდაგის უსწორობები, თვალზე არსებული იზოლირებული და უწყვეტი უსწორობები, სარელსო საფუძვლის არათანაბარღვებადობა და სხვა.

ლიანდაგის გაანგარიშებისას მასზე მაქსიმალური ძალური ზემოქმედების გასათვალისწინებლად, თავდაპირველად უნდა განისაზღვროს ყველა დამატებითი ძალების ერთობლივი ზემოქმედების საშუალო მნიშვნელობა, მას დაემატოს დამატებითი დინამიკური ძალების ჯამური მნიშვნელობის საშუალო კვადრატული გადახრის სიდიდე გამრავლებული 2,5-ზე.

საანგარიშო კვეთში დატვირთვათა სისტემის მაქსიმალური ტოლქმედი ძალის გამოთვლისას, საანგარიშო თვლის დაწოლა აიღება მაქსიმალური მნიშვნელობით, ხოლო მეზობელი თვლების გავლენა საშუალო მნიშვნელობით. მაშინ

$$P_{\text{зд}}^I = P_{\text{бсз}} + 2,5S + \sum P_{\text{бсз}}\mu \quad (1.42)$$

$$P_{\text{зд}}^{II} = P_{\text{бсз}} + 2,5S + \sum P_{\text{бсз}}\eta \quad (1.43)$$

სადაც $\sum P_{\text{бсз}}\mu$ და $\sum P_{\text{бсз}}\eta$ მეზობელი თვლების დაწოლის გავლენაა საანგარიშო კვეთზე.

შევიტანოთ $P_{\text{зд}}^I$ და $P_{\text{зд}}^{II}$ (1.39), (1.40), (1.41) ფორმულებში, მაშ-

ინ

$$M_{\text{гоб}} = \frac{f}{4k}(P_{\text{бсз}} + 2,5S + \sum P_{\text{бсз}}\mu) \quad (1.44)$$

$$Q_{\text{гоб}} = \frac{kl}{2}(P_{\text{бсз}} + 2,5S + \sum P_{\text{бсз}}\eta) \quad (1.45)$$

$$y_{\text{гоб}} = \frac{k}{2U}(P_{\text{бсз}} + 2,5S + \sum P_{\text{бсз}}\eta) \quad (1.46)$$

შესაბამისად ძაბვა რელსის ფუძის წიბოში, აღმრული დინამიკური მომენტსაგან ტოლი იქნება

$$\sigma_{\text{г.т.}} = \frac{M_{\text{гоб}}}{W} = \frac{f}{4kW}(P_{\text{бсз}} + 2,5S + \sum P_{\text{бсз}}\mu) \quad (1.47)$$

სადაც W – რელსის წინაღობის მომენტია, სმ³.

1.6. დასაშვები ძაბვების მნიშვნელობები ლიანდაგის ელემენტებში

ნებისმიერი კონსტრუქციის სიმტკიცისა და საიმედობის უზრუნველყოფის აუცილებელ პირობას წარმოადგენს ის, რომ ამ კონსტრუქციაზე მოქმედ დატვირთვათა სისტემისაგან აღმრული ძაბვების სიდიდე, მარაგის სათანადო კოეფიციენტის გათვალისწინებით არ უნდა აღემატებოდეს ამ კონსტრუქციის სიმტკიცის ზღვარს.

კონსტრუქციის გაანგარიშებისათვის აუცილებელია დადგენილ იქნას საანგარიშო და დასაშვები ძაბვების მნიშვნელობები.

საანგარიშო ძაბვების მნიშვნელობა განისაზღვრება კონსტრუქციაზე მოქმედ დატვირთვათა სისტემის შესაძლო მაქსიმალური ზემოქმედების შესაბამისად.

დასაშვები ძაბვები კი დადგინდება კონსტრუქციის მასალის სიმტკიცის ზღვარის მიხედვით.

ლიანდაგის გაანგარიშებისას, მისი კონსტრუქციის საიმედო-ობისა და სიმტკიცის უზრუნველსყოფად საანგარიშო ძაბვების მნიშვნელობები უნდა შედარდეს დასაშვები ძაბვების სიდიდეებს.

ლიანდაგის გაანგარიშების მეთოდიერის მიხედვით $P43$ და უფრო მძიმე ტიპის რელსებისათვის, ფუძის წიბოში დასაშვები ძაბვის სიდიდე დადგენილი იყო სარელსო ფოლადის დენადობის მინიმალური ზღვრის მიხედვით $[\sigma_{\text{რ.კ.}}] = 3500 \text{ კგ/სმ}^2$, $(350 \text{ მეგპა}), I^a$ და უფრო მსუბუქი ტიპის რელსებისათვის $[\sigma_{\text{რ.ო.}}] = 3000 \text{ კგ/სმ}^2$ (300 მეგპა).

ამავე დროს აუცილებელი იყო პირაპირიან ლიანდაგებში ტემპერატურული ძაბვების გასათვალისწინებლად $K = 1,3$ კოეფიციენტის გამოყენება.

ჩატარებული გამოკვლევების საფუძველზე $P50$ და უფრო მძიმე ტიპის რელსებისათვის, სიგრძით $12,5$ და 25 მ. რეკომენდებულია დასაშვები ძაბვების შემდეგი მნიშვნელობები, (ζ ცხრილი 1.2).

ცხრილი 12

ლიანდაგის დახასიათება	დასაშვები ძაბვების მნიშვნელო- ბები, კგ/სმ ² (მეგპა)	
	რელსის ფუძის წიბოში $[\sigma_{\text{რ.კ.}}]$	რელსის თავის წიბოში $[\sigma_{\text{რ.ო.}}]$
პირაპირიანი ლიანდაგისა- თვის	2400 (240)	3200 (320)
უპირაპირო ლიანდაგისათ- ვის ტემპერატურული ძაბ- ვების გათვალისწინებით	2000 (200)	2600 (260)

ძელი გარგისი რელსებისათვის, რომლებიც უახლოეს ხანში უნდა შეიცვალოს, დასაშვებია მათი 30%-ით გადაძაბვა.

ხის შპალებში ქვესადების ქვეშ დასაშვები ძაბვების მნიშვნელობები დამოკიდებულია ზედა ნაშენის ტიპზე და მოძრავი შემაღებაშის სახეობაზე (ცხრილი 1.3).

ცხრილი 1.3.

მოძრავი შემადგენლობის სახეობა	დასაშვები ძაბვების მნიშვნელობები [σ_{v}] კგ/სმ ² (მეგპა)	
	მძიმე ტიპის ზედა ნაშენი	მსუბუქი ტიპის ზედა ნაშენი
ლოკომოტივის დატვირთვის ქვეშ	16 (1,6)	20 (2,0)
ვაგონების დატვირთვის ქვეშ	15 (1,5)	18 (1,8)

დასაშვები ძაბვების მნიშვნელობები ბალასტის შრეში დამოკიდებულია ბალასტის სახეობაზე, მისი ფრაქციების ზომებზე და მოძრავი შემადგენლობის ტიპზე (ცხრილი 1.4).

ცხრილი 1.4.

ბალასტის სახეობა და ფრაქციების ზომები	დასაშვები ძაბვების მნიშვნელობები [σ_{v}] კგ/სმ ² , (მეგპა)	
	ლოკომოტივის დატვირთვის ქვეშ	ვაგონების დატვირთვის ქვეშ
ლორდი ფრაქციების ზომებით (25-50), (25-60) და (25-70) მმ.	5 (0,5)	3,25 (0,325)
ლორდი ფრაქციების ზომებით (7-25) მმ.	4 (0,4)	2,6 (0,26)
ხრეში, ნიჟარა	3 (0,3)	2,25 (0,225)
ქვიშა	2,75 (0,275)	2,0 (0,2)

მიწის ვაკისის ძირითად მოედანზე დასაშვები ძაბვების სიდიდე და დამოკიდებულია გრუნტების სახეობაზე, მისი დატვებისა და ტენიანობის ხარისხზე. ჯანსაღი მიწის ვაკისისათვის, აგებული ყველაზე უფრო გავრცელებული თიხნარი გრუნტებისაგან, დასაშვები ძაბვების სიდიდე მიღებულია $[\sigma_{\text{v}}] = 0,8 \text{ კგ/სმ}^2$, (0,08 მეგპა).

საანგარიშო ძაბვების გადაჭარბება დასაშვები ძაბვების სიდიდეზე იმაზე მიუთითებს, რომ საჭიროა ლიანდაგის კონსტრუქციისა და მისი მოვლა-შენახვის სამუშაოების გაძლიერება. ამასთან ერთად უნდა გავითვალისწინოთ, რომ საანგარიშო ძაბვების გადაჭარბება შპალებში და ბალასტში დასაშვებთან შედარებით

არა უმეტეს 30%-ისა, არ მოითხოვს მოძრაობის სიჩქარის დაუკონებლივ შემცირების აუცილებლობას.

1.7. ლიანდაგის ზედა ნაშენის სიმტკიცეზე გაანგარიშების პრაქტიკული მეთოდები

ლიანდაგის ზედა ნაშენის სიმტკიცეზე გაანგარიშებისათვის თავდაპირველად უნდა განისაზღვროს მასზე მოქმედი ყველა ვერტიკალური ძალების ტოლქმედის საშუალო მნიშვნელობა.

$$P_{\text{საშ}} = P_{\text{ხტ.}} + P_{\text{რ}}^{\text{საშ}} \quad (1.48)$$

სადაც $P_{\text{ხტ.}}$ – თვლიდან რელსზე გადაცემული სტატიკური დატვირთვა, (დანართი, ცხრილი 2).

$P_{\text{რ}}^{\text{საშ}}$ – რესორების რხევით გამოწვეული დამატებითი ინერციული ძალის საშუალო მნიშვნელობა საანგარიშო კვეთში.

რელსებზე მოღებული დინამიკური მომენტის $M_{\text{დინ}}$ შპალებზე გადაცემული დინამიკური დატვირთვის $Q_{\text{დინ}}$ და რელსების დრეკადი დინამიკური ჩაღუნვის $y_{\text{დინ}}$ მნიშვნელობათა განსაზღვრისათვის საჭიროა განისაზღვროს ექვივალენტური დინამიკური ძალების $P_{\text{აქ}}^I$ და $P_{\text{აქ}}^{II}$ სიდიდეები. ამისათვის აუცილებელია განისაზღვროს ლიანდაგზე მოქმედი ყველა დამატებითი დინამიკური ინერციული ძალებისა და მათი საშუალო კვადრატული გადახრის მნიშვნელობები.

რესორების რხევით გამოწვეული დამატებითი დინამიკური ძალა $P_{\text{რ}}$ განისაზღვრება რესორების დრეკადი ჩაღუნვის მაქსიმალური სიდიდისა და რესორის სიხისტეობან დამოკიდებულების მიხედვით

$$P_{\text{რ}} = \mathcal{K} z_{\text{max}} \quad (1.49)$$

სადაც \mathcal{K} – რესორის სიხისტეა, (დანართი, ცხრილი 2);

z_{max} – რესორის დრეკადი ჩაღუნვის მაქსიმალური სიდიდე,

$$z_{\text{max}} = a_{\text{რ}} + b_{\text{რ}} v^2 \quad (1.50)$$

სადაც a_{v} და b_{v} – ცდებით დადგენილი პარამეტრებია, (დანართი, ცხრილი 8);

v – მოძრაობის მაქსიმალური სიჩქარე.

ელმავლებისათვის და ობომავლებისათვის სავალის ნაწილების ორსაფეხურიანი ჩამოკიდებით (ВЛ10, ВЛ60, ЧС1, ЧС2, ЧС3, ТЕП60), რესორების რხევით გამოწვეული დინამიკური ძალა P_{v} განისაზღვრება ფორმულით:

$$P_{\text{v}} = K_{\text{коф}}(P_{\text{вх}} - q) \quad (1.51)$$

სადაც q – დაურესორებელი მასის წონა მოსული ერთ თვალზე;

$K_{\text{коф}}$ – დაურესორებელი მასის დინამიკურობის ქოვიციენტი.

$$K_{\text{коф}} = 0,1 + 0,2 \frac{v}{f_{\text{вх}}} \quad (1.52)$$

სადაც v – მოძრაობის სიჩქარეა;

$f_{\text{вх}}$ – სარესორო ჩამოკიდების სრული სტატიკური ჩაღუნვა, ორსაფეხურიანი ჩამოკიდების შემთხვევაში, მაგ.

$$f_{\text{вх}} = f_I + f_{II} \quad (1.53)$$

სადაც f_I – ჩამოკიდების პირველი საფეხურის (ურიკასა და ბუქსებს შორის) სტატიკური ჩაღუნვის სიდიდეა;

f_{II} – ჩამოკიდების მეორე საფეხურის (ძარასა და ურიკას შორის) სტატიკური ჩაღუნვის სიდიდე.

სტატიკური ჩაღუნვის სიდიდე $V\text{L}10$ და $T\text{EP}60$ ლოკომოტივებისათვის ტოლია $f_{\text{вх}} = 104$ მმ, ЧС1 და ЧС3 ელმავლებისათვის $- f_{\text{вх}} = 90$ მმ, $V\text{L}60$ ელმავლისათვის $- f_{\text{вх}} = 5$ მმ, ხოლო ЧС2 ელმავლისათვის $- f_{\text{вх}} = 123$ მმ.

რესორების რხევით გამოწვეული დამატებითი დინამიკური ძალის საშუალო მნიშვნელობა აიღება P_{v} ძალის 75%.

$$P_{\text{v}}^{\text{бл}} = 0,75 P_{\text{v}} \quad (1.54)$$

ხოლო $P_{\text{v}}^{\text{бл}}$ – ძალის საშუალო კვადრატული გადახრის სიდიდე ტოლია

$$S_{\text{v}} = 0,08 P_{\text{v}} \quad (1.55)$$

ლიანდაგის უსწორობით გამოწვეული დამატებითი დინამიკური ძალის მნიშვნელობა დამოკიდებულია უსწორობის გეომეტრიულ ფორმაზე. ე.ი. მისი მხების უდიდეს კუთხეურ მნიშვნელობაზე უდიდესი კუთხეური მნიშვნელობა გააჩნია სინუსოიდური ფორმის უსწორობის მრუდის მხებ სწორ ხაზს. ასეთი სწორის განტლების მიხედვით, ლიანდაგის უსწორობისაგან გამოწვეული დამატებითი დინამიკური, ინერციული ძალის მნიშვნელობა განისაზღვრება ფორმულით:

$$P_{ლ.ց.} = 0,8 \times 10^{-8} \beta \gamma P_{საჟ.} \sqrt{\frac{U}{k}} \sqrt{q} \quad (1.56)$$

სადაც 0,8 – ლიანდაგის უსწორობის ფორმის გამასაშუალოებელი კოეფიციენტია;
 β – რელსის ტიპის გამათვალისწინებელი კოეფიციენტი;
 δ – ბალასტის სახეობის გამათვალისწინებელი კოეფიციენტი;
 l – შპალების დერებს შორის მანძილი;
 $P_{საჟ.}$ – ოვალზე მოსული საშუალო სიდიდის დატვირთვა;
 q – დაურესორებელი მასის წონა, მოსული ერთ თვალზე;
 v – მოძრაობის საანგარიშო სიჩქარე;
 U – სარელსო საფუძვლის დრეპალის მოდული.

β კოეფიციენტის მნიშვნელობები რელსების ტიპის მიხედვით:

$P65$ – 0,85;	Ia – 1,15;
$P50$ – 1,00;	IIa – 1,20;
$P43$ – 1,10;	$IIIa$ – 1,30.

δ კოეფიციენტის მნიშვნელობები ბალასტის სახეობის მიხედვით:

დორდი, დახარისხებული ხრეში	– 1,0;
კარიერის ხრეში, ნიჟარა	– 1,1;
ქვიშა	– 1,5.

შპალების დერძებს შორის l მანძილი, შპალების ეპიურის მიხედვით:

1320	$\text{G}/\text{j}\delta$	-	75	სმ;	1840	$\text{G}/\text{j}\delta$	-	55	სმ;
1400	$\text{G}/\text{j}\delta$	-	72	სმ;	1920	$\text{G}/\text{j}\delta$	-	52	სმ;
1600	$\text{G}/\text{j}\delta$	-	63	სმ;	2000	$\text{G}/\text{j}\delta$	-	50	სმ.

ლიანდაგის უსწორობისაგან წარმოქმნილი დამატებითი ინერციული დინამიკური ძალის საშუალო კვადრატული გადახრის სიდიდე ხის შპალების შემთხვევაში ტოლია:

$$S_{\text{ლ.უ.}} = 0,707 P_{\text{ლ.უ.}} = 0,565 \times 10^{-8} \beta \delta \ell P_{\text{ლ.უ.}} v \sqrt{\frac{u}{k}} \sqrt{q} \quad (1.57)$$

რეინაბეტონის შპალებისათვის კი:

$$S_{\text{ლ.უ.}} = \frac{9,1 \times 10^{-3} P_{\text{ლ.უ.}} v \sqrt{q}}{(EI)^{1/8} U^{3/8}} = \frac{9,1 \times 10^{-3} P_{\text{ლ.უ.}} v \sqrt{q}}{\sqrt[8]{EI \times U^3}} \quad (1.58)$$

თვლებზე არსებული უსწორობებისაგან გამოწვეული დამატებითი ინერციული ძალების განსაზღვრისას უნდა გავითვალისწინოთ შემდეგი გარემოებები:

როგორც ცნობილია თვლებს გააჩნიათ უწყვეტი და იზოლირებული უსწორობები.

უკლაზე ფართოდ გავრცელებულია თვლებზე არსებული უწყვეტი უსწორობები, როგორებიცაა თვლის გორგის ზედაპირის არათანაბარი ცვეთა, თვლის ოვალურობა და სხვა. გააჩნარიშებებში დაშვებულია, რომ შემადგენლობის თვლების საერთო რიცხვის 95%-ს უწყვეტი უსწორობები გააჩნიათ.

გაცილებით ნაკლებადაა გავრცელებული თვლების იზოლირებული უსწორობები (ადგილობრივი გაძლიერებული ცვეთა, ამოფხენა, ცოციები და სხვა). ასეთი უსწორობის სიგრძე 20 სმ-ს არ აღემატება, ხოლო მაქსიმალური სიღრმე $a_1=0,065$ სმ.

ჩატარებული გამოკვლევების საფუძველზე დადგენილია, რომ თვლებზე არსებული უსწორობებისაგან გამოწვეული დამატებითი ინერციული დინამიკური ძალების ზემოქმედებით რელსის მაქსიმალური დრეკადი ჩაღუნვა y_{\max} დამოკიდებულია ფარდობაზე

$$\frac{T_0}{T_\psi} \quad (1.59)$$

სადაც T_0 – თვლის მიერ უსწორობის გავლის დროა;

T_ψ – სისტემის „თვალი-რელსი“ რხევის საკუთარი პერიოდი;

რხევების თეორიის საფუძველზე დადგენილია შემდეგი დამოკიდებულება

$$\frac{y_{\max}}{a_1} = f \left(\frac{T_0}{T_\psi} \right) \quad (1.60)$$

„თვალი-რელსი“ სისტემის საკუთარი რხევის პერიოდი განისაზღვრება ფორმულით

$$T_\psi = 5,56 \sqrt{\frac{kq}{Ug}} \quad (1.61)$$

სადაც $g = 981 \text{ სმ/წ}^2$ – სიმძიმის ძალის აჩქარებაა.

თვლის მიერ უსწორობის გავლის დრო T_0 განისაზღვრება ფორმულით

$$T_0 = \frac{l_0}{v} \quad (1.62)$$

თუ (1.62) ფორმულაში შევიტანო უსწორობის l_0 სიგრძეს სმში და მოძრაობის v სიჩქარეს კმ/სთ-ში, მაშინ

$$T'_0 = 0,036 \frac{l_0}{v} \quad (1.63)$$

იზოლირებული უსწორობის შემთხვევაში, როცა $l'_0 = 20 \text{ სმ}$, უსწორობის გავლის დრო

$$T'_0 = 0,036 \frac{20}{v} \quad (1.64)$$

უწყვეტი უსწორობის შემთხვევაში, როცა უსწორობის სიგრძე $l''_0 = \frac{\pi d}{v}$, უწყვეტი უსწორობის გავლის დრო

$$T''_0 = 0,036 \frac{\pi d}{v} \quad (1.65)$$

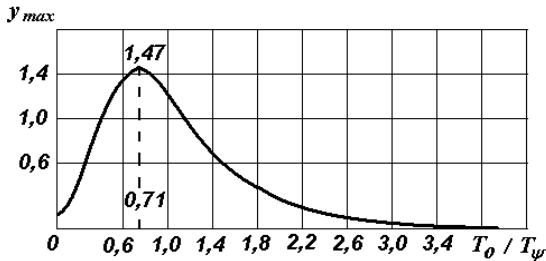
სადაც d – მოძრავი შემადგენლობის თვლის დიამეტრია (დანართი, ცხრილი 2).

თუ მივიღეთ, რომ ფარდობა

$$\frac{T'_0}{T_\psi} < 0,71 < \frac{T''_0}{T_\psi} \quad (1.66)$$

მაშინ $y_{\max} = 1,47$ სტ.

სხვა შემთხვევაში y_{\max} -ის მნიშვნელობა აიდება გრაფიკიდან (ნახ. 1.6).



ნახ.1.6. y_{\max} -ის $\frac{T_0}{T_\psi}$ სიღრღესთან დამოკიდებულების გრაფიკი

შემდეგ შეგვიძლია განვსაზღვროთ თვლებზე არსებული იზოლირებული უსწორობებისაგან გამოწვეული დამატებითი ინერციული ძალა

$$P_{\text{თ.ი.}} = y_{\max} \frac{2U}{k} a_1 \quad (1.67)$$

ხოლო ამ ძალის საშუალო კვადრატული გადახრა ტოლი იქნება

$$S_{\text{თ.ი.}} = 0,25 y_{\max} \frac{2U}{k} a_1 = 0,5 y_{\max} \frac{U}{k} a_1 \quad (1.68)$$

დამატებითი ინერციული ძალების ტოლქმედის საანგარიშო ფორმულაში შეიტანება $S_{\text{თ.ი.}}$. სიდიდის 5%.

თვლებზე არსებული უწყვეტი უსწორობისაგან გამოწვეული დამატებითი ინერციული ძალის სიდიდე გამოითვლება ფორმულით

$$P_{\text{თ.ი.}} = \frac{K_0 U v^2 \sqrt{q}}{d^2 \sqrt{kU - 3,26k^2 q}} \quad (1.69)$$

ხოლო $P_{\text{თ.ი.}}$ - ძალის საშუალო კვადრატული გადახრის სიდიდე კი

$$S_{\text{თ.ი.}} = \frac{K_1 U v^2 \sqrt{q}}{d^2 \sqrt{kU - 3,26k^2 q}} \quad (1.70)$$

სადაც $K_1 = 0,225 K_0$ – სხვადასხვა ტიპის მოძრავი შემადგენლობის თვლების უწყვეტი უსწორობის დამახასიათებელი კოეფიციენტი. ელმავლების, თბომავლების და ვაგონების თვლებისათვის $K_1 = 0,052$.

დამატებითი დინამიკურ ძალთა ტოლქმედის საანგარიშო ფორმულაში შეიტანება $S_{\text{თ.უ.}}^{\text{შ.}}$ სიდიდის 95%.

ვიცით, რა ლიანდაგზე მოქმედი ყველა დამატებითი ინერციული ძალების საშუალო კვადრატული გადახრის სიდიდე ცალკალკე, შეიძლება გამოვთვალოთ ამ ძალთა საშუალო კვადრატული გადახრის ტოლქმედის მნიშვნელობა.

ყველა დამატებითი დინამიკური ინერციული ძალების ტოლქმედის საშუალო კვადრატული გადახრის სიდიდე გამოითვლება ფორმულით:

$$S = \sqrt{S_{\text{შ.}}^2 + S_{\text{ლ.უ.}}^2 + \frac{q_1}{100} S_{\text{თ.უ.}}^2 + \left(1 - \frac{q_1}{100}\right) S_{\text{თ.უ.}}^2} \quad (1.71)$$

სადაც q_1 – მოძრავი შემადგენლობის იმ თვლების პროცენტული შემადგენლობაა, რომლებსაც გააჩნიათ იზოლირებული უსწორობები. მიღებულია, რომ $q_1 = 5\%$.

გამოვთვალოთ ლიანდაგზე მოქმედი ექვივალენტური დინამიკური ძალების მნიშვნელობები:

$$P_{\text{ჯ.შ.}}^I = (P_{\text{ს.შ.}} + 2,5S + \sum P_{\text{ს.შ.}}\mu) \quad (1.72)$$

$$P_{\text{ჯ.შ.}}^{II} = (P_{\text{ს.შ.}} + 2,5S + \sum P_{\text{ს.შ.}}\eta) \quad (1.73)$$

სადაც $\sum P_{\text{ს.შ.}}\mu$ – მეზობელი თვლების გავლენაა საანგარიშო კვეთზე, მდუნავი დინამიკური მომენტის განსაზღვრის შემთხვევაში;

$\sum P_{\text{ს.შ.}}\eta$ – მეზობელი თვლების გავლენა საანგარიშო კვეთზე, შპალებზე გადაცემული დატვირთვისა და რელსის დრეკადი წაღუნვის შემთხვევაში.

μ – დინამიური მომენტის გავლენის საზის ორინატა;

η – შპალებზე დინამიკური დატვირთვისა და რელსის დრეკადი წაღუნვის გავლენის საზის ორინატა.

μ და η სიღიღეები განისაზღვრება მოძრავი შემაღენლობის დერძებს შორის მანძილის $l = x$, სარელსო საფუძვლისა და რელსის ფარდობითი სიხისტის კოეფიციენტის ნამრავლის kx მიხედვით, (დანართი, ცხრილი 9).

მაშინ, დინამიკური მდუნავი მომენტი აღმრული რელსში $P_{\text{აქ}}^I$ ექვივალენტური ძალისაგან ტოლი იქნება:

$$M_{\text{ეფ}} = \frac{f}{4k} P_{\text{აქ}}^I = \frac{f}{4k} (P_{\text{საშ}} + 2,5S + \sum P_{\text{საშ}} \mu) \quad (1.74)$$

ხოლო ძაბვა რელსის ფუძის წიბოში:

$$\sigma_{\text{რ.ყ.}} = \frac{M_{\text{ეფ}}}{W} = \frac{f}{4kW} (P_{\text{საშ}} + 2,5S + \sum P_{\text{საშ}} \mu) \quad (1.75)$$

სადაც f – განივი პორიზონტალური ძალების ზემოქმედების და ვერტიკალური ძალების ექსცენტრული მოდების გამათვალისწინებელი კოეფიციენტია, (დანართი, ცხრილი 1).

W – რელსის წინაღობის მომენტი მაქსიმალური დასაშვები ცვეთის გათვალისწინებით, (დანართი, ცხრილი 7).

რელსის ფუძის წიბოში ძაბვის საანგარიშო მნიშვნელობა $\sigma_{\text{რ.ყ.}}$ უნდა შედარდეს დასაშვებ მნიშვნელობას $[\sigma_{\text{რ.ყ.}}]$ -ს.

$$\sigma_{\text{რ.ყ.}} \leq [\sigma_{\text{რ.ყ.}}] \quad (1.76)$$

შპალებზე გადაცემული დინამიკური დატვირთვა კი ტოლია:

$$Q_{\text{ეფ}} = \frac{kl}{2} P_{\text{აქ}}^{II} = \frac{kl}{2} (P_{\text{საშ}} + 2,5S + \sum P_{\text{საშ}} \eta) \quad (1.77)$$

ხოლო თელვის ძაბვის მნიშვნელობა შპალზე ქვედის ქვეშ ტოლია:

$$\sigma_{\text{აქ}} = \frac{Q_{\text{ეფ}}}{\omega} = \frac{kl}{2\omega} (P_{\text{საშ}} + 2,5S + \sum P_{\text{საშ}} \eta) \quad (1.78)$$

$$\sigma_{\text{აქ}} \leq [\sigma_{\text{აქ}}] \quad (1.79)$$

სადაც ω - ქვესადების ფართობია, (დანართი, ცხრილი 5).

ბალასტის შრეში მაქსიმალური სიღიღეის ძაბვები აღიძვრება შპალის ქვეშ და გამოითვლება ფორმულით:

$$\sigma_{\text{ბ.ს}} = \frac{Q_{\text{ეფ}}}{\Omega} = \frac{K\ell}{2\Omega} (P_{\text{საშ}} + 2,5S + \sum P_{\text{საშ}} \eta) \quad (1.80)$$

$$\sigma_{\text{д.о.п}} \leq \lfloor \sigma_{\text{д.о.п}} \rfloor \quad (1.81)$$

სადაც Ω – ნახევარშპალის ფართობია, (დანართი, ცხრილი 6). რელსის დრეკადი ჩაღუნგა გამოითვლება ფორმულით:

$$y_{\text{гсб}} = \frac{k}{2U} (P_{\text{б.з}} + 2,5S + \sum P_{\text{б.з}} \eta) \quad (1.82)$$

განვსაზღვროთ ძაბგის მნიშვნელობა რელსის თავის წიბოში. იგი გამოითვლება ფორმულით:

$$\sigma_{\text{б.н.}} = \frac{\sigma_{\text{б.з}}}{f} \left\{ \frac{z_{\omega}}{z_{\beta}} + \frac{(f-1)}{(1-\lambda)} \times \frac{b_{\omega}}{b_{\beta}} \left[1 + \lambda \frac{h_1}{h_2} \right] \right\} \quad (1.83)$$

სადაც $\sigma_{\text{б.н.}}$ – ძაბგაა რელსის თავის შიგა წიბოში;

z_{ω} და z_{β} – შესაბამისად მანძილები რელსის სიმძიმის ცენტრში გამავალი ჰორიზონტალური დერძიდან, მისი თავისა და ფუძის ყველაზე დაშორებულ ბოჭქომდე;

b_{ω} და b_{β} – შესაბამისად რელსის თავისა და ფუძის სიგანე;

h_1 და h_2 – შესაბამისად მანძილი რელსის თავიდან და ფუძიდან რელსის განივი კვეთის გრეხის ცენტრამდე, (დანართი, ცხრილი 7)

კოეფიციენტი λ დამოკიდებულია $\frac{\sigma_{\text{გ.}}}{\sigma_{\text{ჰო}}}$ ფარდობაზე, ე.ო.

$$\lambda = \frac{\sigma_{\text{გ.}}}{\sigma_{\text{ჰო}}} \quad (1.84)$$

სადაც $\sigma_{\text{გ.}}$ – გრეხის ძაბგის მნიშვნელობაა რელსის ფუძის წიბოში;

$\sigma_{\text{ჰო}}$ – ჰორიზონტალური ძალებისაგან გამოწვევული ძაბგის მნიშვნელობა რელსის ფუძეში.

λ კოეფიციენტის სიდიდეები რეგომენდებულია მივიღოთ:

სწორ უბნებში და $R > 1200$ მ	–	0,10 – 0,15;
მრუდებში $R = 1200 \div 800$ მ	–	0,15 – 0,25;
მრუდებში $R = 800 \div 300$ მ	–	0,25 – 0,50.

საანგარიშო ძაბვების სიდიდეები რელსის თავის შიგა წიბო-ში უნდა შედარდეს დასაშვები ძაბვის შესაბამის მნიშვნელობას

$$\sigma_{\text{რ.ო.}} \leq [\sigma_{\text{რ.ო.}}] \quad (1.85)$$

2. ლიანდაგის ზედა ნაშენის გაანგარიშება მდგრადობაზე

ლიანდაგში ჩამაგრების შემდეგ რელსებში ტემპერატურის შემდგომი ცვალებადობა მასში ძაბვების წარმოქმნას იწვევს, რომელთა სიდიდე დამოკიდებულია ტემპერატურის ცვალებადობის მნიშვნელობაზე.

ტემპერატურის მატების შემთხვევაში წარმოიქმნება კუმშვის ძაბვები, რაც ლიანდაგის გაგდების (გამრუდების) საფრთხეს ქმნის. ტემპერატურის კლების დროს კი რელსებში წარმოიქმნება გამჭიმავი ძაბვები, რაც წარმოქმნის სარელსო ძაფის გაწყვეტის საშიშროებას.

ძაბვები, რომლებიც რელსებში აღიძვრებიან მატარებლებიდან გადაცემული დატვირთვებისა და ტემპერატურული ძალების ერთობლივი ზემოქმედებით, მარაგის კოეფიციენტის გათვალისწინებით, არ უნდა აღემატებოდეს დასაშვებ მნიშვნელობას.

როგორც ცნობილია უპირაპირო ლიანდაგი თავისი მუშაობის პირობების მიხედვით არსებობს: ტემპერატურული დაძაბული უპირაპირო ლიანდაგი – ტემპერატურული განმუხტების გარეშე და უპირაპირო ლიანდაგი სეზონური ტემპერატურული განმუხტებით, გაზაფხულზე და შემოდგომაზე.

უპირაპირო ლიანდაგის მუშაობის პირობების დადგენა დამოკიდებულია გარემოს ტემპერატურის ცვალებადობის წლიურ $T_{\text{გ.რ.}}$ ამპლიტუდაზე და რელსების ტემპერატურის ცვალებადობის დასაშვებ მნიშვნელობაზე [T].

გარემოს ტემპერატურის წლიური ამპლიტუდა $T_{\text{გ.რ.}}$ გამოითვლება ფორმულით:

$$T_{\text{გ.რ.}} = t_{\max \max} - t_{\min \min} \quad (2.1)$$

სადაც $t_{\max \max}$ – გარემოს ტემპერატურის წლიური მაქსიმუმია ზაფხულის პერიოდში;

$t_{\min \min}$ – გარემოს ტემპერატურის წლიური მინიმუმი ზამთრის პერიოდში.

უპირაპირო ლიანდაგის გაანგარიშების მთავარ თავისებურებას წარმოადგენს ის, რომ რელსის ფუძის სიმტკიცე უნდა შემოწმდეს გამჭიმავ σ_{t_0} ძაბვებზე ზამთრის პირობებისათვის, ხოლო რელსის თავის სიმტკიცე მკუშავ σ_{t_0} ძაბვებზე ზაფხულის პირობებისათვის, როგორც სწორი, ისე მრუდე უბნებისათვის.

გამჭიმავი ძაბვების საანგარიშო სიდიდე რელსის ფუძეში ლიანდაგის სწორ და მრუდე უბნებში ტოლია:

$$\sigma_{t_0}^{\text{b}} = [\sigma_{\text{r.o.}}] - K\sigma_{\text{r.o.}}^{\text{b}} = [\sigma_{\text{r.o.}}] - 1,3\sigma_{\text{r.o.}}^{\text{b}} \quad (2.2)$$

$$\sigma_{t_0}^{\text{m}} = [\sigma_{\text{r.o.}}] - K\sigma_{\text{r.o.}}^{\text{m}} = [\sigma_{\text{r.o.}}] - 1,3\sigma_{\text{r.o.}}^{\text{m}} \quad (2.3)$$

მკუშავი ძაბვების საანგარიშო სიდიდე რელსის თავში ლიანდაგის სწორ და მრუდე უბნებში ტოლია:

$$\sigma_{t_0}^{\text{b}} = [\sigma_{\text{r.o.}}] - K\sigma_{\text{r.o.}}^{\text{b}} = [\sigma_{\text{r.o.}}] - 1,3\sigma_{\text{r.o.}}^{\text{b}} \quad (2.4)$$

$$\sigma_{t_0}^{\text{m}} = [\sigma_{\text{r.o.}}] - K\sigma_{\text{r.o.}}^{\text{m}} = [\sigma_{\text{r.o.}}] - 1,3\sigma_{\text{r.o.}}^{\text{m}} \quad (2.5)$$

უნდა განისაზღვროს რელსებში ტემპერატურის ცვალებადობის მაქსიმალური დასაშვები სიდიდე C^0 , როგორც ტემპერატურის მატების, ისე მისი კლების დროს ლიანდაგის სწორ და მრუდე უბნებში:

ტემპერატურის მატების პირობებში, ლიანდაგის სწორ და მრუდე უბნებში:

$$\Delta t_{\text{o.o.}}^{\text{b}} = \frac{\sigma_{t_0}^{\text{b}}}{25} \quad (2.6)$$

$$\Delta t_{\text{o.o.}}^{\text{m}} = \frac{\sigma_{t_0}^{\text{m}}}{25} \quad (2.7)$$

ტემპერატურის კლების პირობებში, ლიანდაგის სწორ და მრუდე უბნებში:

$$\Delta t_{\text{g.g.}}^{\text{b}} = \frac{\sigma_{t_0}^{\text{b}}}{25} \quad (2.8)$$

$$\Delta t_{\text{g.g.}}^{\text{m}} = \frac{\sigma_{t_0}^{\text{m}}}{25} \quad (2.9)$$

უნდა გამოვთვალოთ ტემპერატურული ცვალებადობით გამოწვეული გრძივი კრიტიკული ძალის მნიშვნელობა. კრიტიკული

ძალა ეწოდება ტემპერატურული გრძივი ძალის ისეთ ზღვრულ მნიშვნელობას, რომლის სიდიდის გადაჭარბება გამოიწვევს ლიანდაგის გაგდებას ან სარელსო ძაფის გაწყვეტას. გრძივი ძალის მაქსიმალური მნიშვნელობა, რომელსაც შეუძლია გამოიწვიოს ლიანდაგის მდგრადობის დარღვევა ტოლია:

$$P_0 = \frac{A}{i_0^\alpha} K_1 K_2 K_3 K_4 \quad (2.10)$$

სადაც i_0 – ლიანდაგის საწყისი უსწორობის ქანობია, სწორი უბნებისათვის $i_0 = 2\%$; მრუდე უბნებისათვის $i_0 = 2,5 - 3\%$;

A და α – რელსების ტიპისა და ლიანდაგის გეგმის გამატვალისწინებელი პარამეტრი, (ცხრილი 2.1).

ცხრილი 2.1

მრუდის რადიუსი	რელსების ტიპი			
	P50		P65	
	A	α	A	α
400	238	0.300	248	0.232
600	295	0.365	315	0.335
800	332	0.410	361	0.385
1000	360	0.450	383	0.410
სწორი	517	0.600	583	0.585

K_1 – ლიანდაგის საწყისი უსწორობის ფორმის გამატვალისწინებელი კოეფიციენტი, $K_1=1$ – ლიანდაგის ერთგალღიანი იზოლირებული უსწორობის შემთხვევაში; $K_1=1,1$ – ლიანდაგის უსწორობათა სერიიდან გამოყოფილი ერთგალღიანი ცალკეული უსწორობის შემთხვევაში;

K_2 – ბალასტის მდგომარეობის გამატვალისწინებელი კოეფიციენტი, დამოკიდებული ბალასტის დატკენის C_c კოეფიციენტზე:

$$\begin{array}{lll} C_c = 0 & - & K_2 = 0,28; \\ C_c = 225 & - & K_2 = 0,71; \end{array} \quad \begin{array}{lll} C_c = 450 & - & K_2 = 1,00; \\ C_c = 600 & - & K_2 = 1,17. \end{array}$$

K_3 – შპალების ეპიურის გამათვალისწინებელი კოეფიციენტი:

$$\begin{array}{lll} 1600 \text{ გ/მ}^3 & - & K_3 = 0,91; \\ 1840 \text{ გ/მ}^3 & - & K_3 = 1,00; \end{array} \quad \begin{array}{lll} 1920 \text{ გ/მ}^3 & - & K_3 = 1,12; \\ 2000 \text{ გ/მ}^3 & - & K_3 = 1,17. \end{array}$$

K_4 – საპირაპირო ჭანჭიკების მოჭერის ძალისა და შპალების მასალის გამათვალისწინებელი კოეფიციენტი:

$$K_4 = \beta_1 \left[\frac{m_c}{20000} \left(\frac{1}{\beta_1} - 1 \right) + 1 \right] \quad (2.11)$$

სადაც m_c – შეუალებური სამაგრების მოჭერის ძალისა და შპალების მასალის გამათვალისწინებელი კოეფიციენტია. $m_c = 13200 \div 26100$ კგ/სმ (კლემბის $11 \div 33$ კგმ მომენტის სიდიდით მოჭერის შემთხვევაში);

β_1 – საანგარიშო პარამეტრი დამოკიდებული უსწორობის ქანონის სიდიდეზე.

$$\begin{array}{lll} i_0 = 2 \% & - & \beta_1 = 0,795; \\ i_0 = 3 \% & - & \beta_1 = 0,820; \\ i_0 = 4 \% & - & \beta_1 = 0,840. \end{array}$$

ტემპერატურული ცვალებადობის გრძივი მაქსიმალური ძალის მნიშვნელობის მიხედვით და მარაგის კოეფიციენტის გათვალისწინებით უნდა განისაზღვროს კრიტიკული ძალის სიდიდე, რომელიც უზრუნველყოფს ლიანდაგის მდგრადობის პირობას

$$P_{\text{კ}} = \frac{P_0}{1,5} \quad (2.12)$$

სადაც $1,5$ – მარაგის კოეფიციენტია;

P_0 და $P_{\text{კ}}$ ძალების მნიშვნელობები გამოითვლება, როგორც სწორი ისე მრუდე უბნებისათვის.

ამის შემდეგ შეგვიძლია განვითაროთ ძაბვების მნიშვნელობები აღმრული რელსებში კრიტიკული ძალის მიერ, ლიანდაგის სწორ და მრუდე უბნებში:

$$\sigma^{bv} = \frac{P_{bv}}{2F} \quad (2.13)$$

$$\sigma^{av} = \frac{P_{av}}{2F} \quad (2.14)$$

სადაც F – რელსის განივი კვეთის ფართობია, (დანართი, ცხრილი 7).

რელსებში აღმრული ძაბვების შემდეგ შეგვიძლია გამოვთვალოთ რელსებში ტემპერატურის ცვალებადობის დასაშვები სიდიდე.

$$\Delta t_y^{bv} = \frac{\sigma^{bv}}{25} \quad (2.15)$$

$$\Delta t_y^{av} = \frac{\sigma^{av}}{25} \quad (2.16)$$

საჭიროა განისაზღვროს რელსების ტემპერატურის ცვალებადობის დასაშვები სიდიდეები მათი ლიანდაგში ჩაგების ტემპერატურასთან შედარებით, როგორც ტემპერატურის მატების Δt_δ , ისე კლების მხარეს Δt_δ .

ტემპერატურის კლების შემთხვევაში:

$$\Delta t_\delta^{bv} = \Delta t_{\text{ფ.ფ.}}^{bv} \quad (2.17)$$

$$\Delta t_\delta^{av} = \Delta t_{\text{ფ.ფ.}}^{av} \quad (2.18)$$

ტემპერატურის მატების შემთხვევაში:

$$\Delta t_\delta^{bv} = \Delta t_{\text{მ.მ.}}^{bv} + 6^0 \quad \text{თუ} \quad \Delta t_{\text{მ.მ.}}^{bv} + 6^0 \leq t_y^{bv} \quad (2.19)$$

$$\Delta t_\delta^{av} = \Delta t_{\text{მ.მ.}}^{av} + 6^0 \quad \text{თუ} \quad \Delta t_{\text{მ.მ.}}^{av} + 6^0 \leq t_y^{av} \quad (2.20)$$

და

$$\Delta t_\delta^{bv} = \Delta t_y^{bv} \quad \text{თუ} \quad \Delta t_{\text{მ.მ.}}^{bv} + 6^0 > t_y^{bv} \quad (2.21)$$

$$\Delta t_\delta^{av} = \Delta t_y^{av} \quad \text{თუ} \quad \Delta t_{\text{მ.მ.}}^{av} + 6^0 > t_y^{av} \quad (2.22)$$

სადაც Δt_y – რელსებში ტემპერატურის ცვალებადობის დასაშვები სიდიდეა;

6^0 – რელსებში ტემპერატურის ცვალებადობის დასაშვები სიდიდის გადაჭარბების მნიშვნელობა.

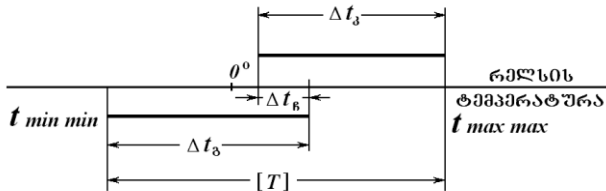
განვსაზღვროთ რელსებში ტემპერატურის ცვალებადობის დასაშვები ამპლიტუდა $[T]$ ლიანდაგის სწორი და მრუდე უბნებისათვის, ტემპერატურულად დაძაბული ლიანდაგის შემთხვევაში:

$$[T]^{b\ddagger} = \Delta t_{\beta}^{b\ddagger} + \Delta t_{\delta}^{b\ddagger} - [\Delta t_{\beta}] \quad (2.23)$$

$$[T]^{\theta\ddagger} = \Delta t_{\beta}^{\theta\ddagger} + \Delta t_{\delta}^{\theta\ddagger} - [\Delta t_{\beta}] \quad (2.24)$$

სადაც $[\Delta t_{\beta}]$ – ტემპერატურის ინტერვალი, რომელიც საჭიროა რელსების ლიანდაგში ჩამაგრების საშუალების ჩასატარებლად, $[\Delta t_{\beta}] = 10^{\circ}\text{C}$.

თუ აღმოჩნდა, რომ $T_{\beta\text{ა}} \leq [T]$, მაშინ უპირაპირო ლიანდაგი იმუშავებს ტემპერატურულად დაძაბულად, სეზონური ტემპერატურული განმუხტვების გარეშე, (ნახ. 2.2).



ნახ.2.2. ტემპერატურულად დაძაბული უპირაპირო ლიანდაგის უშუალის ტემპერატურული დიაგრამა

მაშინ შეგიძლია დავადგინოთ ლიანდაგში რელსების ჩამაგრების ტემპერატურული ინტერვალის ზედა და ქვედა საზღვრები.

სწორი უბნებისათვის:

$$\text{ზედა ზღვარი } \max t_{\beta}^{b\ddagger} = \Delta t_{\delta}^{b\ddagger} + t_{\min \min} \quad (2.25)$$

$$\text{ქვედა ზღვარი } \min t_{\beta}^{b\ddagger} = t_{\max \max} - \Delta t_{\delta}^{b\ddagger} \quad (2.26)$$

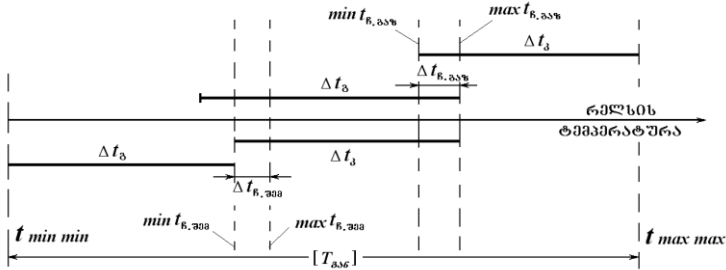
მრუდე უბნებისათვის:

$$\text{ზედა ზღვარი: } \max t_{\beta}^{\theta\ddagger} = \Delta t_{\delta}^{\theta\ddagger} + t_{\min \min} \quad (2.27)$$

$$\text{ქვედა ზღვარი: } \min t_{\beta}^{\theta\ddagger} = t_{\max \max} - \Delta t_{\delta}^{\theta\ddagger} \quad (2.28)$$

თუ აღმოჩნდა, რომ $T_{\beta\text{ა}} > [T_{\beta\text{ა}}]$, მაშინ საჭიროა ლიანდაგში სეზონური ტემპერატურული განმუხტვების ჩატარება.

ტემპერატურის ცვალებადობის დასაშეგები ამპლიტუდა რელ-სებში $[T_{\text{გა}}]$ ლიანდაგის სწორ და მრუდე უბნებში, სეზონური განმუხტვების საჭიროების შემთხვევაში ტოლი იქნება (ნაბ.2.3):



ნაბ. 2.3. უპირაპირ ლიანდაგის მუშაობის ტემპერატურული დიაგრამა, ტემპერატურული ძაბვების სეზონურად (გაზაფხულზე და შემოდგომაზე) განმუხტვა

$$[T_{\text{გა}}]^{\text{ც}} = \Delta t_{\text{გ}}^{\text{ც}} + 2\Delta t_{\text{გ}}^{\text{ც}} - \sum \Delta t_{\text{გ}} - 12^0 \quad (2.29)$$

$$[T_{\text{გა}}]^{\text{მ}} = \Delta t_{\text{გ}}^{\text{მ}} + 2\Delta t_{\text{გ}}^{\text{მ}} - \sum \Delta t_{\text{გ}} - 12^0 \quad (2.30)$$

სადაც $\sum \Delta t_{\text{გ}} =$ გაზაფხულზე და შემოდგომაზე ლიანდაგში რელსების ჩამაგრების სამუშაოების შესრულებისათვის საჭირო ტემპერატურული ინტერვალების ჯამი. $\sum \Delta t_{\text{გ}} = \Delta t_{\text{გ, გა}} + \Delta t_{\text{გ, ვე}}. \Delta t_{\text{გ, გა}} = 15^0\text{C}, \Delta t_{\text{გ, ვე}} = 10^0\text{C}$, მაშინ $\sum \Delta t_{\text{გ}} = 25^0\text{C}$.

$12^0\text{C} =$ ტემპერატურის ინტერვალის მარაგი, რელსებში ნარჩენი ძაბვების დარტყმითი მეთოდებით განმუხტვის შემთხვევაში. თუ სარელსო გადაბმების ლიანდაგში ჩაეცება სრულდება გორგოლაჭების საშუალებით, მაშინ 12^0C -ანი მარაგი არ გაითვალისწინება.

სარელსო გადაბმებში საშემოდგომო ტემპერატურული განმუხტვის ამპლიტუდის ზედა და ქვედა ზღვარი გამოითვლება ფორმულით:

ზედა ზღვარი:

$$\max t_{\text{გ, ვე}}^{\text{ც}} = t_{\text{min min}} + \Delta t_{\text{გ}}^{\text{ც}} - 4^0 \quad (2.31)$$

$$\max t_{\text{б.з}\beta}^{\text{бр}} = t_{\min \min} + \Delta t_{\delta}^{\text{бр}} - 4^0 \quad (2.32)$$

ქვედა ზღვარი:

$$\min t_{\text{б.з}\beta}^{\text{бр}} = \max t_{\text{б.з}\beta}^{\text{бр}} - \Delta t_{\text{б.з}\beta} \quad (2.33)$$

$$\min t_{\text{б.з}\beta}^{\text{бр}} = \max t_{\text{б.з}\beta}^{\text{бр}} - \Delta t_{\text{б.з}\beta} \quad (2.34)$$

შესაბამისად სარელსო გადაბმების საგაზაფხულო ტემპერატურული განმუხტვის ამპლიტუდის ზედა და ქვედა ზღვარი ტოლი იქნება:

ზედა ზღვარი:

$$\max t_{\text{б.з}\beta}^{\text{бр}} = t_{\min \min} + \Delta t_{\delta}^{\text{бр}} + \Delta t_{\beta}^{\text{бр}} - \Delta t_{\text{б.з}\beta} - 8^0 \quad (2.35)$$

$$\max t_{\text{б.з}\beta}^{\text{бр}} = t_{\min \min} + \Delta t_{\delta}^{\text{бр}} + \Delta t_{\beta}^{\text{бр}} - \Delta t_{\text{б.з}\beta} - 8^0 \quad (2.36)$$

ქვედა ზღვარი:

$$\max t_{\text{б.з}\beta}^{\text{бр}} = t_{\max \max} + \Delta t_{\delta}^{\text{бр}} + 4^0 \quad (2.37)$$

$$\max t_{\text{б.з}\beta}^{\text{бр}} = t_{\max \max} + \Delta t_{\beta}^{\text{бр}} + 4^0 \quad (2.38)$$

სადაც $4^0 C$ და $8^0 C$ – ტემპერატურის მარაგია ტემპერატურული განმუხტვის შემდეგ რელსებში ნარჩენი ძაბვების არსებობის გასათვალისწინებლად.

იმ შემთხვევაში, როდესაც $[T_{\text{გან}}] < T_{\text{გარ}}$, მაშინ უპირაპირო დიანდაგის მოწყობა საერთოდ შეუძლებელია.

λ δ β δ φ ω ο

*G*ხრიდი 1

f გოეფიციენტის მნიშვნელობები მიმმართველი ღერძებისათვის

ლოკომოტივის სერია	სწორ უბანში	მრავდებში რადიუსით <i>R</i> , მ								
		1000	800	700	600	500	400	350	300	250
<i>ელბაზლები</i>										
ВЛ60, ВЛ60 ^{II} , ВЛ60 ^K	1,13	1,33	1,37	1,41	1,45	1,53	1,62	1,66	1,69	1,72
ВЛ80, ВЛ80 ^K	1,08	1,30	1,34	1,36	1,38	1,40	1,41	1,42	1,44	1,45
ЧС4	1,26	1,38	1,42	1,44	1,46	1,52	1,60	1,65	1,72	1,80
Φ ^{II}	1,13	1,60	1,66	1,73	1,80	1,89	1,99	2,04	2,07	2,10
Φ	1,10	1,38	1,50	1,58	1,69	1,85	2,07	2,23	2,35	2,45
К	1,11	1,38	1,42	1,45	1,48	1,53	1,57	1,62	1,66	1,70
ВЛ41	1,17	1,30	1,35	1,38	1,41	1,45	1,50	1,53	1,59	1,68
ЧС2 ^M	1,10	1,40	1,45	1,51	1,55	1,62	1,69	1,77	1,80	1,85
ЧС1, ЧС3	1,12	1,24	1,26	1,29	1,32	1,35	1,42	1,45	1,51	1,59
ВЛ10	1,25	1,27	1,28	1,30	1,33	1,37	1,41	1,43	1,49	1,56
ВЛ8	1,10	1,18	1,22	1,25	1,29	1,37	1,45	1,51	1,53	1,57
ВЛ22, ВЛ22 ^M	1,42	1,45	1,46	1,48	1,49	1,50	1,54	1,59	1,66	1,73
ВЛ-23	1,17	1,22	1,24	1,26	1,30	1,35	1,46	1,51	1,62	1,73
<i>თბომავლები და აირტურბომავლები</i>										
ТЭП60, ТГП50, ГП1	1,13	1,34	1,39	1,44	1,47	1,55	1,65	1,72	1,78	1,83
ТЭП10, ТЭП10Л	1,20	1,33	1,40	1,44	1,49	1,54	1,60	1,64	1,68	1,73
ТЭ7	1,20	1,36	1,43	1,47	1,52	1,58	1,65	1,68	1,74	1,80

ТЭ3, ТЭ10Л, ТЭ10	1,20	1,33	1,40	1,44	1,49	1,54	1,60	1,64	1,68	1,73	—
ТЭ2	1,11	1,12	1,13	1,15	1,16	1,24	1,34	1,41	1,47	1,55	—
ТЭ1 Д ^a	1,17	1,24	1,25	1,27	1,30	1,39	1,50	1,58	1,65	1,73	—
ТГ102	1,10	1,31	1,36	1,39	1,43	1,48	1,53	1,56	1,59	1,63	—
ТГ106	1,15	1,39	1,44	1,48	1,53	1,59	1,68	1,73	1,77	1,80	—
Г1	1,12	1,38	1,46	1,50	1,53	1,57	1,62	1,65	1,67	1,72	—
ТЭМ1, ТГМ 10	1,20	1,35	1,42	1,46	1,52	1,57	1,63	1,67	1,72	1,77	1,84
ТГМ2, ТГМ3 ТГМ5	1,11	1,23	1,30	1,33	1,36	1,40	1,43	1,47	1,51	1,58	1,66

გავონები

ოთხდერძიანი სატელოთო ვაგონი ცНИИ- Х3-0 ურიკებით	1,18	1,26	1,28	1,30	1,33	1,39	1,49	1,55	1,65	1,78	—
ექსტერდიანი სატელოთო ვაგონი УВЗ-9 ^მ ურიკებით	1,13	1,35	1,41	1,44	1,46	1,49	1,53	1,56	1,60	1,66	—
რვადერძიანი ნახევარვაგონი ცНИИ-Х3-0 ურიკებით	1,18	1,28	1,31	1,33	1,37	1,42	1,49	1,54	1,62	1,72	—

ცხრილი 2

გაგონებისა და დოკუმენტიკების საანგარიშო მახასიათებლები

1	2	3	4	5	6	7	8	9
ოთხლერძიანი სატვირთო ვაგონი ЦНИИ-X3-0 ურიკებით	100	10500	975	200	48	95	185-675-185	0,047
ექსლერძიანი სატვირთო ვაგონი УВ3-9 ^м ურიკებით	100	10700	1070	195	50	95	175-175-694-175- 175	0,047
რვაღლერძიანი ნახევარვაგონი ЦНИИ-X3-0 ურიკებით	100	10550	975	200	48	95	185-135-185-702- 185-135-185	0,047

სამგზავრო ვაგონი ЦМВ	120	8100	710	76	145	105	270-1420-270	0,047
სამგზავრო ვაგონი КВЗ-ЦНИИ ურიკებით	160	7125	710	57	155	105	240-1460-240	0,047
<i>გვლავი დების ელმავლები</i>								
ВЛ 60 ^{II} 3 ₀ -3 ₀	120	11000	2550	78	108,6	125	230-230-380-230-230	0,047
ВЛ60, ВЛ60 ^K 3 ₀ -3 ₀	100	11500	3080	142	59,6	125	230-230-380-230-230	0,047
ВЛ80, ВЛ80 ^K 20-20-20-20	110	11500	2760	152	108,0	125	300-450-300-572-450-300	0,047
Ф ^{II} 3 ₀ -3 ₀	160	10900	1530	100	93,5	125	233,5-251-766,5-251-233,5	0,047
Ф 3 ₀ -3 ₀	110	11500	2640	96,5	91,8	125	233,5-233,5-801,5-233,5-233,5	0,047
ЧС4 3 ₀ -3 ₀	160	10500	1850	87	140,0	125	230-230-500-230-230	0,047
К 3 ₀ -3 ₀	100	11500	1600	144,6	127,6	125	235-260-434-260-235	0,047
ВЛ80 ^T 2(2 ₀ -2 ₀)	110	11500	2925	91	73,5	125	300-450-300-572-300-450-300	0,047
ВЛ80 ^P 2(2 ₀ -2 ₀)	110	12000	2925	152	108,0	125	300-450-300-572-300-450-300	0,047
ВЛ82 2(2 ₀ -2 ₀)	110	12000	2970	140	108,0	125	300	0,047

გუდივივი დენის კლავლები								
ЧС2 ^М	3 ₀ -3 ₀	160	10250	1925	135	120	125	240-220-380-220-240
ЧС3	2 ₀ -2 ₀	120	10625	1925	192,2	102,2	125	333-484-333
ЧС1	2 ₀ -2 ₀	120	10625	1925	192	102,2	125	333-484-333
ВЛ23	3 ₀ -3 ₀	100	11500	3170	142	59	120	220-220-380-220-220
ВЛ10	2 ₀ -2 ₀ 2 ₀ -2 ₀	110	11500	3055	101	116,2	125	300-400-300-466,5-300-400-300
ВЛ 8	2 ₀ -2 ₀ 2 ₀ -2 ₀	80	11500	3170	118	70	120	320-380-320-210-320-380-320
ВЛ19	3 ₀ -3 ₀	85	9750	2750	108	62	125	200-250-380-250-200
ЧС2 ^Т	3 ₀ -3 ₀	160	10500	1925	135	120	125	240-220-380-220-240
ЧС4 ^Т	3 ₀ -3 ₀	160	10500	1850	135	140	125	230-230-500-230-230
თბომავლები								
ТЭП60	3 ₀ -3 ₀	160	10500	1415	94	96,5	105	220-240-580-240-220
ТЭП10	3 ₀ -3 ₀	140	10750	2175	71	121	105	210-210-500-210-210
ТЭ7	3 ₀ -3 ₀	140	10500	2330	131	62,3	105	210-210-500-210-
								0,047

							210	
ТЭ10	3 ₀ -3 ₀	100	10750	2175	130	71	105	210-210-500-210-210
2ТЭ10Л	2(3 ₀ -3 ₀)	100	10650	2240	119	69	105	210-210-500-210-210
ТЭ3, ТЭ30	3 ₀ -3 ₀	100	10500	2330	143	57	105	210-210-440-210-210
ТЭ2	2 ₀ -2 ₀	95	10625	1225	152	41	105	225-395-225
ТЭ1	3 ₀ -3 ₀	95	10325	1750	162	27	105	152,5-190,5-503-190,5-152,5
2ТЭ116	2(3 ₀ -3 ₀)	120	11250	4260	130	101	105	185-185
2ТЭ121	2(3 ₀ -3 ₀)	120	12500	3700	120	150	105	220-220
2ТЭ10В	2(3 ₀ -3 ₀)	100	11500	4260	119	100	105	185-185
4ТЭ130	4(3 ₀ -3 ₀)	100	11500	4260	186	100	105	185-185
ТЭП170	3 ₀ -3 ₀	160	10750	3080	125	180	125	200-230
ТЭП75	3 ₀ -3 ₀	160	11500	3150	125	180	125	200-230
მაგისტრალური თბომავლები პიდროგადაცემით								
ТГП150	3 ₀ -3 ₀	140	11270	1525		154,6	105	220-240-795-240-220
ТГ106	3 ₀ -3 ₀	100	11500	1950		135	105	190,5-180-853-180-190,5
ТГ102К	2 ₀ -2 ₀	120	10500	2165	103	77,5	105	250-240-250
სამანერო თბომავლები								
ТЭМ 1	3 ₀ -3 ₀	100	10000	2330	143	54	105	210-210-440-210-210
								0,047

ТГМ10	3_0-3_0	80	10000	1800		62,6	105	210-210-440-210-210	0,047
ТГМ 5	2_0-2_0	80	11000	1900		67,5	105	210-510-210	0,047
ТГМ 2	2_0-2_0	60	8500	2000			105	180-390-180	0,047
ТГМ 3	2_0-2_0	60	8500	1550	118	30	105	210-190-210	0,047
<i>აირტურბომაგლები</i>									
ГП 1	3_0-3_0	160	10700	1415	96,5	94,3	105	220-240-580-240-220	0,047
Г 1	3_0-3_0	100	11800	2275		103	105	220-220-220-220-220	0,047
ЧМЭ3	3_0-3_0	95	10250	1940	157	52	105	200-200-460-200-200	0,047

ცხრილი 3

U და k კოეფიციენტების მნიშვნელობები ხის შპალებისა და ღორღის ბალასტისათვის

რელის ტიპი	შპალების ტიპი	შპალების ეპიურა, ცალი/ქმ	U , ვგ/სმ ²	k ,სმ ⁻¹ , რელის თავის დაყვანილი ცვეთის შესაბამისად			
				0	3 მმ	6 მმ	9 მმ
P65	IA , IB	1600	230	0,00937	0,00947	0,00961	0,00978
		1840	270	0,00976	0,00986	0,01000	0,01018
		2000	295	0,00997	0,01008	0,01023	0,01040
	IIA , IIБ	1600	230	0,00937	0,00947	0,00961	0,00978
		1840	260	0,00966	0,00976	0,00991	0,01008
		2000	290	0,00993	0,01003	0,01018	0,01036
P50	IA , IB	1600	230	0,01081	0,01093	0,01110	0,01131
		1840	270	0,01125	0,01137	0,01155	0,01177
		2000	295	0,01150	0,01163	0,01181	0,01203
	IIA , IIБ	1600	230	0,01081	0,01093	0,01110	0,01131
		1840	260	0,01115	0,01126	0,01145	0,01165
		2000	290	0,01146	0,01158	0,01176	0,01198

ცხრილი 4

U და k კოეფიციენტების მნიშვნელობები რკინაბეჭონის შპალებისა და დორდის ბალანსისათვის

რელსის ტიპი	შუასადებების ტიპი	შპალების ეპოურა ცალი/ქმ	U , ქმ/სმ ²	k , სმ ⁻¹ , რელსის თავის დაყვანილი ცვეთის შესაბამისად	
				6 მმ	9 მმ
P65	ტიპური, სისქიო 5 – 6 მმ	1840 2000	1500 1670	0,01536 0,01578	0,01562 0,01604
	მაღალი დრეკადობის	1840 2000	1000 1100	0,01388 0,01421	0,01412 0,01446
	ტიპური, სისქიო 5 – 6 მმ	1840 2000	1500 1670	0,01772 0,01820	0,01804 0,01853
	მაღალი დრეკადობის	1840 2000	1000 1100	0,01600 0,01638	0,01630 0,01669
P50	ტიპური, სისქიო 5 – 6 მმ	1840 2000	1500 1670	0,01772 0,01820	0,01804 0,01853
	მაღალი დრეკადობის	1840 2000	1000 1100	0,01600 0,01638	0,01630 0,01669

ცხრილი 5

ქვესადებების საყრდენი ფართობები

შუალედური სამაგრების ტიპი	რელსის ტიპი	ქვესადების ფართობი ω , სმ ²	შუალედური სამაგრების ტიპი	რელსი ს ტიპი	ქვესადების ფართობი ω , სმ ²
განუყოფელი	P65 P50* P50**	594 496 596	განცალკევებული: K-4 КБ-რკინაბეჭონის შპალებისათვის	P50 P65	560 481

შენიშვნა: * - ლიანდაგის სწორი უბნებისათვის.

** - ლიანდაგის მრუდე უბნებისათვის.

ცხრილი 6

α და Ω პარამეტრების მნიშვნელობები შპალისა და ბალასტის მასალის მიხედვით

პარამეტრები	ბალასტის სახეობა	ხის შპალები		რეინაბეტონის შპალები
		I A, I B	II A, II B	
შპალების გაღუნვის α ქოეფიციენტი	ღორდი ხრეში	0,83 0,85	0,78 0,81	0,85 0,90
ნახევარშპალის ფართობი გაღუნვის გათვალისწინებით $\Omega = \frac{a}{b} \alpha$, $b\vartheta^2$	ღორდი ხრეში	2853 2920	2466 2561	2975 3150

ცხრილი 7

რელსის განივი კედლის მახასიათებლები

რელსის ტიპი	დაყვანილი ტენია, მმ.	F , $b\vartheta^2$	$\frac{b_{\omega}}{b_{\eta}}$, სმ	I_{η} , $b\vartheta^4$	I_{ω} , $b\vartheta^4$	W_{η} , $b\vartheta^3$	W_{ω} , $b\vartheta^3$	z_{η} , სმ	z_{ω} , სმ	h_1 , სმ	h_2 , სმ
<i>P65</i>	0	82,56	$\frac{7,5}{15,0}$	3548	569	436	359	8,13	9,87	13,6	4,4
	6	78,24		3208	550	417	330	7,69	9,71	13,4	4,0
	9	76,08		2998	541	404	310	7,42	9,68	13,2	3,9
<i>P50</i>	0	65,93	$\frac{7,2}{13,2}$	2018	375	286	248	7,05	7,15	10,7	4,5
	6	61,73		1813	359	273	227	6,64	7,96	10,5	4,1
	9	59,63		1685	349	264	213	6,38	7,92	10,3	4,0

Ըերուղություն 8

Թոքրացու Շյմագցելունակություն Ծոծու	a_{α}	b_{α}
ցլազմիքը ԲԼ 23, ԲԼ 22 , ԲԼ 60 , ԲԼ 8 տօնմացլեցն ՏԷՊ 60, ՏԷՊ 10, ՏԷ 10, 2ՏԷ 10Լ	10,9	$9,6 \times 10^{-4}$
ՏԷ 30, ՏԷ 7, ՏԷ 3, ՏԷՄ 1 աորԾյուրծոմացալու ՊՊ1	7,9	$8,4 \times 10^{-4}$
Ռվացցրման սարցորդություն ցացոնցնեցն տօնեցրման 3200 մմ եօնցո ձախություն շրուկցեցն	9,5	$9,6 \times 10^{-4}$
ցլազմիքը Սարցորդություն ցացոնցնեցն ՄՎՅ – 9 ^M Ծոծու սամցցրման շրուկցեցն	6,0	16×10^{-4}
ցլազմիքը Սարցորդություն ցացոնցնեցն ԲՅ – 1 ^M Ծոծու սամցցրման շրուկցեցն	4,6	23×10^{-4}
տօնեցրման սարցորդություն ցացոնցնեցն ЦНИИ-ХՅ շրուկցեցն	10	16×10^{-4}
տօնեցրման սարցորդություն ցացոնցնեցն ՄՏ-50 շրուկցեցն	3,5	14×10^{-4}

Ցյունակություն: Ենթադրվում է, որ առաջանակությունը կազմում է 10%.

Տարրական առաջանակությունը՝ $z_{max} = 15$ մմ.

Հեթուզ 9

μ և η յաջրության տրամադրման մեջնալու գծի

$$\mu = e^{-kx}(\cos kx - \sin kx); \quad \eta = e^{-kx}(\cos kx + \sin kx)$$

kx	μ	η	kx	μ	η
0,50	0,2415	0,8231	0,84	-0,0333	0,6096
0,51	0,2309	0,8172	0,85	-0,0390	0,6032
0,52	0,2205	0,8113	0,86	-0,0446	0,5968
0,53	0,2103	0,8054	0,87	-0,0501	0,5904
0,54	0,2002	0,7994	0,88	-0,0554	0,5840
0,55	0,1903	0,7934	0,89	-0,0606	0,5776
0,56	0,1805	0,7874	0,90	-0,1617	1,4049
0,57	0,1709	0,7813	0,91	-0,1758	1,4033
0,58	0,1615	0,7752	0,92	-0,1898	1,4014
0,59	0,1522	0,7690	0,93	-0,2038	1,3995
0,60	0,1431	0,7628	0,94	-0,2178	1,3974
0,61	0,1341	0,7566	0,95	-0,2317	1,3951
0,62	0,1253	0,7504	0,96	-0,2457	1,3927
0,63	0,1166	0,7441	0,97	-0,2596	1,3902
0,64	0,1080	0,7378	0,98	-0,2735	1,3875
0,65	0,0997	0,7315	0,99	-0,2873	1,3847
0,66	0,0914	0,7252	1,00	-0,3012	1,3818
0,67	0,0833	0,7189	1,01	-0,3150	1,3787
0,68	0,0754	0,7125	1,02	-0,3287	1,3755
0,69	0,0676	0,7061	1,03	-0,3425	1,3721
0,70	0,0599	0,6997	1,04	-0,3562	1,3686
0,71	0,0524	0,6933	1,05	-0,3699	1,3650
0,72	0,0450	0,6869	1,06	-0,3835	1,3612
0,73	0,0377	0,6805	1,07	-0,3971	1,3573
0,74	0,0306	0,6741	1,08	-0,4106	1,3533
0,75	0,0236	0,6676	1,09	-0,4241	1,3491
0,76	0,0168	0,6618	1,10	-0,4376	1,3448
0,77	0,0101	0,6547	1,11	-0,4510	1,3404
0,78	0,0035	0,6483	1,12	-0,4644	1,3358
0,79	-0,0030	0,6418	1,13	-0,4778	1,3311
0,80	-0,0093	0,6354	1,14	-0,4910	1,3262
0,81	-0,0155	0,6289	1,15	-0,5043	1,3213
0,82	-0,0215	0,6225	1,16	-0,5175	1,3161
0,83	-0,0275	0,6161	1,17	-0,5306	1,3109

ცხრილი 9 (გაგრძელება)

kx	μ	η	kx	μ	η
1,18	-0,5437	1,3055	1,54	-0,2077	0,2209
1,19	-0,5567	1,3000	1,55	-0,2078	0,2166
1,20	-0,5697	1,2944	1,56	-0,2079	0,2124
1,21	-0,5826	1,2886	1,57	-0,2079	0,2082
1,22	-0,5955	1,2828	1,58	-0,2079	0,2041
1,23	-0,6083	1,2767	1,59	-0,2078	0,2000
1,24	-0,621	1,2706	1,60	-0,2077	0,1959
1,25	-0,6337	1,2643	1,61	-0,2076	0,1919
1,26	-0,6463	1,2579	1,62	-0,2074	0,1879
1,27	-0,6588	1,2514	1,63	-0,2072	0,1840
1,28	-0,6713	1,2447	1,64	-0,2069	0,1801
1,29	-0,6837	1,2380	1,65	-0,2066	0,1763
1,30	-0,1897	0,3355	1,66	-0,2063	0,1724
1,31	-0,1911	0,3303	1,67	-0,2060	0,1687
1,32	-0,1925	0,3251	1,68	-0,2056	0,1650
1,33	-0,1938	0,3199	1,69	-0,2052	0,1613
1,34	-0,1950	0,3148	1,70	-0,2047	0,1576
1,35	-0,1962	0,3097	1,71	-0,2042	0,1540
1,36	-0,1973	0,3047	1,72	-0,2037	0,1505
1,37	-0,1983	0,2997	1,73	-0,2031	0,1469
1,38	-0,1993	0,2947	1,74	-0,2026	0,1435
1,39	-0,2002	0,2898	1,75	-0,2020	0,1400
1,40	-0,2011	0,2849	1,76	-0,2013	0,1366
1,41	-0,2019	0,2801	1,77	-0,2007	0,1333
1,42	-0,2027	0,2753	1,78	-0,2000	0,1299
1,43	-0,2034	0,2705	1,79	-0,1993	0,1267
1,44	-0,2040	0,2658	1,80	-0,1985	0,1234
1,45	-0,2046	0,2611	1,81	-0,1978	0,1202
1,46	-0,2051	0,2565	1,82	-0,1970	0,1171
1,47	-0,2056	0,2519	1,83	-0,1962	0,1139
1,48	-0,2061	0,2473	1,84	-0,1953	0,1109
1,49	-0,2064	0,2428	1,85	-0,1945	0,1078
1,50	-0,2068	0,2384	1,86	-0,1936	0,1048
1,51	-0,2071	0,2339	1,87	-0,1927	0,1019
1,52	-0,2073	0,2295	1,88	-0,1918	0,0989
1,53	-0,2075	0,2252	1,89	-0,1908	0,0960

Geometriko 9 (გაგრძელება)

kx	μ	η	kx	μ	η
1,90	-0,1899	0,0932	2,26	-0,1469	0,0142
1,91	-0,1889	0,0904	2,27	-0,1456	0,0126
1,92	-0,1879	0,0876	2,28	-0,1442	0,0110
1,93	-0,1869	0,0849	2,29	-0,1429	0,0095
1,94	-0,1859	0,0822	2,30	-0,1416	0,0080
1,95	-0,1848	0,0795	2,31	-0,1402	0,0065
1,96	-0,1838	0,0769	2,32	-0,1389	0,0050
1,97	-0,1827	0,0743	2,33	-0,1375	0,0036
1,98	-0,1816	0,0717	2,34	-0,1362	0,0022
1,99	-0,1805	0,0692	2,35	-0,1349	0,0008
2,00	-0,1794	0,0667	2,36	-0,1335	-0,0005
2,01	-0,1782	0,0643	2,37	-0,1322	-0,0018
2,02	-0,1771	0,0619	2,38	-0,1308	-0,0031
2,03	-0,1759	0,0595	2,39	-0,1295	-0,0044
2,04	-0,1748	0,0572	2,40	-0,1282	-0,0056
2,05	-0,1736	0,0549	2,41	-0,1268	-0,0068
2,06	-0,1724	0,0526	2,42	-0,1255	-0,0080
2,07	-0,1712	0,0504	2,43	-0,1242	-0,0092
2,08	-0,1700	0,0482	2,44	-0,1228	-0,0103
2,09	-0,1688	0,0460	2,45	-0,1215	-0,0114
2,10	-0,1675	0,0439	2,46	-0,1202	-0,0125
2,11	-0,1663	0,0418	2,47	-0,1188	-0,0136
2,12	-0,1650	0,0397	2,48	-0,1175	-0,0146
2,13	-0,1638	0,0377	2,49	-0,1162	-0,0156
2,14	-0,1625	0,0357	2,50	-0,1149	-0,0166
2,15	-0,1612	0,0337	2,51	-0,1136	-0,0176
2,16	-0,1600	0,0318	2,52	-0,1123	-0,0186
2,17	-0,1587	0,0299	2,53	-0,111	-0,0195
2,18	-0,1574	0,0280	2,54	-0,1097	-0,0204
2,19	-0,1561	0,0262	2,55	-0,1084	-0,0213
2,20	-0,1548	0,0244	2,56	-0,1071	-0,0221
2,21	-0,1535	0,0226	2,57	-0,1058	-0,0230
2,22	-0,1522	0,0209	2,58	-0,1045	-0,0238
2,23	-0,1509	0,0191	2,59	-0,1032	-0,0246
2,24	-0,1495	0,0175	2,60	-0,1019	-0,0254
2,25	-0,1482	0,0158	2,61	-0,1007	-0,0261

Հերուսակ 9 (Ճաշմայլյած)

kx	μ	η	kx	μ	η
2,62	-0,0994	-0,0268	2,96	-0,0603	-0,0416
2,63	-0,0981	-0,0276	2,97	-0,0593	-0,0418
2,64	-0,0969	-0,0283	2,98	-0,0583	-0,0420
2,65	-0,0956	-0,0289	2,99	-0,0573	-0,0421
2,66	-0,0944	-0,0296	3,00	-0,0563	-0,0423
2,67	-0,0932	-0,0302	3,01	-0,0553	-0,0424
2,68	-0,0919	-0,0309	3,02	-0,0544	-0,0425
2,69	-0,0907	-0,0315	3,03	-0,0534	-0,0426
2,70	-0,0895	-0,0320	3,04	-0,0524	-0,0427
2,71	-0,0883	-0,0326	3,05	-0,0515	-0,0428
2,72	-0,0871	-0,0331	3,06	-0,0506	-0,0429
2,73	-0,0859	-0,0337	3,07	-0,0496	-0,0430
2,74	-0,0847	-0,0342	3,08	-0,0487	-0,0430
2,75	-0,0835	-0,0347	3,09	-0,0478	-0,0431
2,76	-0,0823	-0,0352	3,10	-0,0469	-0,0431
2,77	-0,0811	-0,0356	3,11	-0,0460	-0,0432
2,78	-0,0800	-0,0361	3,12	-0,0451	-0,0432
2,79	-0,0788	-0,0365	3,13	-0,0442	-0,0432
2,80	-0,0777	-0,0369	3,14	-0,0434	-0,0432
2,81	-0,0765	-0,0373	3,15	-0,0425	-0,0432
2,82	-0,0754	-0,0377	3,16	-0,0416	-0,0432
2,83	-0,0743	-0,0381	3,17	-0,0408	-0,0432
2,84	-0,0731	-0,0384	3,18	-0,0400	-0,0432
2,85	-0,0720	-0,0388	3,19	-0,0391	-0,0431
2,86	-0,0709	-0,0391	3,20	-0,0383	-0,0431
2,87	-0,0698	-0,0394	3,21	-0,0375	-0,0430
2,88	-0,0687	-0,0397	3,22	-0,0367	-0,0430
2,89	-0,0677	-0,0400	3,23	-0,0359	-0,0429
2,90	-0,0666	-0,0403	3,24	-0,0351	-0,0428
2,91	-0,0655	-0,0405	3,25	-0,0344	-0,0427
2,92	-0,0645	-0,0408	3,26	-0,0336	-0,0427
2,93	-0,0634	-0,0410	3,27	-0,0328	-0,0426
2,94	-0,0624	-0,0412	3,28	-0,0321	-0,0425
2,95	-0,0613	-0,0414	3,29	-0,0313	-0,0424

Ըերութո 9 (ՃաշԹԺԵԼՅՁԱ)

kx	μ	η	kx	μ	η
3,30	-0,0306	-0,0422	3,65	-0,0101	-0,0354
3,31	-0,0299	-0,0421	3,66	-0,0096	-0,0351
3,32	-0,0292	-0,0420	3,67	-0,0092	-0,0348
3,33	-0,0285	-0,0419	3,68	-0,0087	-0,0346
3,34	-0,0278	-0,0417	3,69	-0,0083	-0,0343
3,35	-0,0271	-0,0416	3,70	-0,0079	-0,0341
3,36	-0,0264	-0,0414	3,71	-0,0075	-0,0338
3,37	-0,0257	-0,0413	3,72	-0,0070	-0,0335
3,38	-0,025	-0,0411	3,73	-0,0066	-0,0333
3,39	-0,0244	-0,0410	3,74	-0,0062	-0,0330
3,40	-0,0237	-0,0408	3,75	-0,0059	-0,0327
3,41	-0,0231	-0,0406	3,76	-0,0055	-0,0325
3,42	-0,0225	-0,0404	3,77	-0,0051	-0,0322
3,43	-0,0218	-0,0403	3,78	-0,0047	-0,0319
3,44	-0,0212	-0,0401	3,79	-0,0044	-0,0317
3,45	-0,0206	-0,0399	3,80	-0,0040	-0,0314
3,46	-0,0200	-0,0397	3,81	-0,0037	-0,0311
3,47	-0,0194	-0,0395	3,82	-0,0033	-0,0308
3,48	-0,0188	-0,0393	3,83	-0,0030	-0,0306
3,49	-0,0183	-0,0391	3,84	-0,0026	-0,0303
3,50	-0,0177	-0,0389	3,85	-0,0023	-0,0300
3,51	-0,0171	-0,0387	3,86	-0,0020	-0,0297
3,52	-0,0166	-0,0384	3,87	-0,0017	-0,0295
3,53	-0,0160	-0,0382	3,88	-0,0014	-0,0292
3,54	-0,0155	-0,0380	3,89	-0,0011	-0,0289
3,55	-0,0150	-0,0378	3,90	-0,0008	-0,0286
3,56	-0,0144	-0,0375	3,91	-0,0005	-0,0283
3,57	-0,0139	-0,0373	3,92	-0,0002	-0,0281
3,58	-0,0134	-0,0371	3,93	0,0001	-0,0278
3,59	-0,0129	-0,0368	3,94	0,0004	-0,0275
3,60	-0,0124	-0,0366	3,95	0,0006	-0,0272
3,61	-0,0119	-0,0364	3,96	0,0009	-0,0269
3,62	-0,0114	-0,0361	3,97	0,0012	-0,0267
3,63	-0,0110	-0,0359	3,98	0,0014	-0,0264
3,64	-0,0105	-0,0356	3,99	0,0017	-0,0261

Ըերութո 9 (ՃաշԹԺՁԵՅՑՁԱ)

<i>kx</i>	μ	η	<i>kx</i>	μ	η
4,00	0,0019	-0,0258	4,34	0,0074	-0,0169
4,01	0,0021	-0,0256	4,35	0,0075	-0,0166
4,02	0,0024	-0,0253	4,36	0,0076	-0,0164
4,03	0,0026	-0,0250	4,37	0,0077	-0,0162
4,04	0,0028	-0,0247	4,38	0,0078	-0,0159
4,05	0,0030	-0,0245	4,39	0,0078	-0,0157
4,06	0,0032	-0,0242	4,40	0,0079	-0,0155
4,07	0,0034	-0,0239	4,41	0,0080	-0,0152
4,08	0,0036	-0,0236	4,42	0,0081	-0,0150
4,09	0,0038	-0,0234	4,43	0,0081	-0,0148
4,10	0,0040	-0,0231	4,44	0,0082	-0,0145
4,11	0,0042	-0,0228	4,45	0,0083	-0,0143
4,12	0,0044	-0,0225	4,46	0,0083	-0,0141
4,13	0,0046	-0,0223	4,47	0,0084	-0,0139
4,14	0,0048	-0,0220	4,48	0,0084	-0,0136
4,15	0,0049	-0,0217	4,49	0,0085	-0,0134
4,16	0,0051	-0,0215	4,50	0,0085	-0,0132
4,17	0,0053	-0,0212	4,51	0,0086	-0,0130
4,18	0,0054	-0,0209	4,52	0,0086	-0,0128
4,19	0,0056	-0,0207	4,53	0,0087	-0,0126
4,20	0,0057	-0,0204	4,54	0,0087	-0,0123
4,21	0,0059	-0,0202	4,55	0,0087	-0,0121
4,22	0,0060	-0,0199	4,56	0,0088	-0,0119
4,23	0,0061	-0,0196	4,57	0,0088	-0,0117
4,24	0,0063	-0,0194	4,58	0,0088	-0,0115
4,25	0,0064	-0,0191	4,59	0,0088	-0,0113
4,26	0,0065	-0,0189	4,60	0,0089	-0,0111
4,27	0,0067	-0,0186	4,61	0,0089	-0,0109
4,28	0,0068	-0,0184	4,62	0,0089	-0,0107
4,29	0,0069	-0,0181	4,63	0,0089	-0,0105
4,30	0,0070	-0,0179	4,64	0,0089	-0,0103
4,31	0,0071	-0,0176	4,65	0,0090	-0,0101
4,32	0,0072	-0,0174	4,66	0,0090	-0,0099
4,33	0,0073	-0,0171	4,67	0,0090	-0,0098

Ըերութո 9 (ՃաշԹԺԵԼՅՁՅԱ)

kx	μ	η	kx	μ	η
4,68	0,0090	-0,0096	5,02	0,0083	-0,0043
4,69	0,0090	-0,0094	5,03	0,0083	-0,0042
4,70	0,0090	-0,0092	5,04	0,0082	-0,0040
4,71	0,0090	-0,0090	5,05	0,0082	-0,0039
4,72	0,0090	-0,0088	5,06	0,0081	-0,0038
4,73	0,0090	-0,0087	5,07	0,0081	-0,0037
4,74	0,0090	-0,0085	5,08	0,0080	-0,0036
4,75	0,0090	-0,0083	5,09	0,0080	-0,0035
4,76	0,0090	-0,0081	5,10	0,0080	-0,0033
4,77	0,0090	-0,0080	5,11	0,0079	-0,0032
4,78	0,0089	-0,0078	5,12	0,0079	-0,0031
4,79	0,0089	-0,0076	5,13	0,0078	-0,0030
4,80	0,0089	-0,0075	5,14	0,0078	-0,0029
4,81	0,0089	-0,0073	5,15	0,0077	-0,0028
4,82	0,0089	-0,0072	5,16	0,0077	-0,0027
4,83	0,0089	-0,0070	5,17	0,0076	-0,0026
4,84	0,0089	-0,0068	5,18	0,0076	-0,0025
4,85	0,0088	-0,0067	5,19	0,0075	-0,0024
4,86	0,0088	-0,0065	5,20	0,0075	-0,0023
4,87	0,0088	-0,0064	5,21	0,0074	-0,0022
4,88	0,0088	-0,0062	5,22	0,0074	-0,0021
4,89	0,0087	-0,0061	5,23	0,0073	-0,0020
4,90	0,0087	-0,0059	5,24	0,0073	-0,0019
4,91	0,0087	-0,0058	5,25	0,0072	-0,0018
4,92	0,0087	-0,0056	5,26	0,0071	-0,0017
4,93	0,0086	-0,0055	5,27	0,0071	-0,0016
4,94	0,0086	-0,0054	5,28	0,0070	-0,0016
4,95	0,0086	-0,0052	5,29	0,0070	-0,0015
4,96	0,0085	-0,0051	5,30	0,0069	-0,0014
4,97	0,0085	-0,0049	5,31	0,0069	-0,0013
4,98	0,0085	-0,0048	5,32	0,0068	-0,0012
4,99	0,0084	-0,0047	5,33	0,0068	-0,0011
5,00	0,0084	-0,0045	5,34	0,0067	-0,0011
5,01	0,0083	-0,0044	5,35	0,0066	-0,0010

Geometriko 9 (გაგრძელება)

kx	μ	η	kx	μ	η
5,36	0,0066	-0,0009	5,43	0,0062	-0,0004
5,37	0,0065	-0,0008	5,44	0,0061	-0,0004
5,38	0,0065	-0,0008	5,45	0,0061	-0,0003
5,39	0,0064	-0,0007	5,46	0,0060	-0,0002
5,40	0,0064	-0,0006	5,47	0,0060	-0,0002
5,41	0,0063	-0,0006	5,48	0,0059	-0,0001
5,42	0,0062	-0,0005	5,49	0,0058	0,0000

ՀԱՅՈՒԹՅԱՅԻ ԱՐԴՅՈՒՆԱՎՈՐՈՒՄՆԵՐԸ:

1. Шахунянц Г.М. Железнодорожный путь М.; Транспорт, 1987. 480 с..
2. Яковлева Т.Г., Шульга С.В., Амелин С.В. и др.; Под ред. Амелина С.В. Основы устройства и расчёв железнодорожного пути, М.; Транспорт, 1990. 367 с.
3. Чернышев М.А. Практические методы расчёта пути, М.; Транспорт, 1967. 235 с.
4. МПС – Главное управление пути Технические указания по укладке и содержанию бесстыкового пути, М.; Транспорт, 1982. 166 с.
5. Под редакцией Альбрехта В.Г., Бромберга Е.М. Бесстыковой путь, М.; Транспорт, 1982. 206 с.
6. Амелин С.В., Бассарский М.П. и др.; Под ред. Басилова В.И. и Чернышева М.А. Т. 1 Справочник инженера – путейца, М.; Транспорт, 1972. 768 с.
7. Фришман М.А. Как работает путь под поездами, М.; Транспорт, 1983. 168 с.

სარჩევი

	გვ.
შპსაგალი	3
თავი 1 ლიანდაბის ზედა ნაშენის გაანგარიშება სიმტკიცეზე	6
1.1 ძირითადი წანამდლვრები და დაშვებები ლიანდაბის ზედა ნაშენის სიმტკიცეზე გაანგარიშების დროს	6
1.2 სარელსო საფუძვლის დრეკადობის მოდული	8
1.3 ლიანდაგზე ძალთა ზემოქმედების ალბათობითი ხასიათი	11
1.4 ლიანდაბის სიმტკიცეზე სტატიკური გაანგარიშების საფუძვლები საფუძვლები ვერტიკალური ძალების ზემოქმედებაზე	14
1.5 ლიანდაბის დინამიკური გაანგარიშების საფუძვლები ვერტიკალური ძალების ზემოქმედებაზე	18
1.6 დასაშვები ძაბვების მნიშვნელობები ლიანდაბის ელემენტებში	20
1.7 ლიანდაბის ზედა ნაშენის სიმტკიცეზე გაანგარიშება	23
თავი 2 უპირაპირო ლიანდაბის გაანგარიშება მდგრადობაზე	32
დანართი	40
ლიტერატურა	60